

A photograph of the ATLAS particle detector at the Large Hadron Collider (LHC) at CERN. The detector is a large, complex structure with two main cylindrical components made of grey and orange materials. It is set against a backdrop of a clear blue sky transitioning into a warm sunset. In the foreground, there is a body of water and some trees. Several flagpoles with flags are visible on the left side.

Recherches du boson de Higgs au TeVatron

F. Couderc
CEA - Saclay

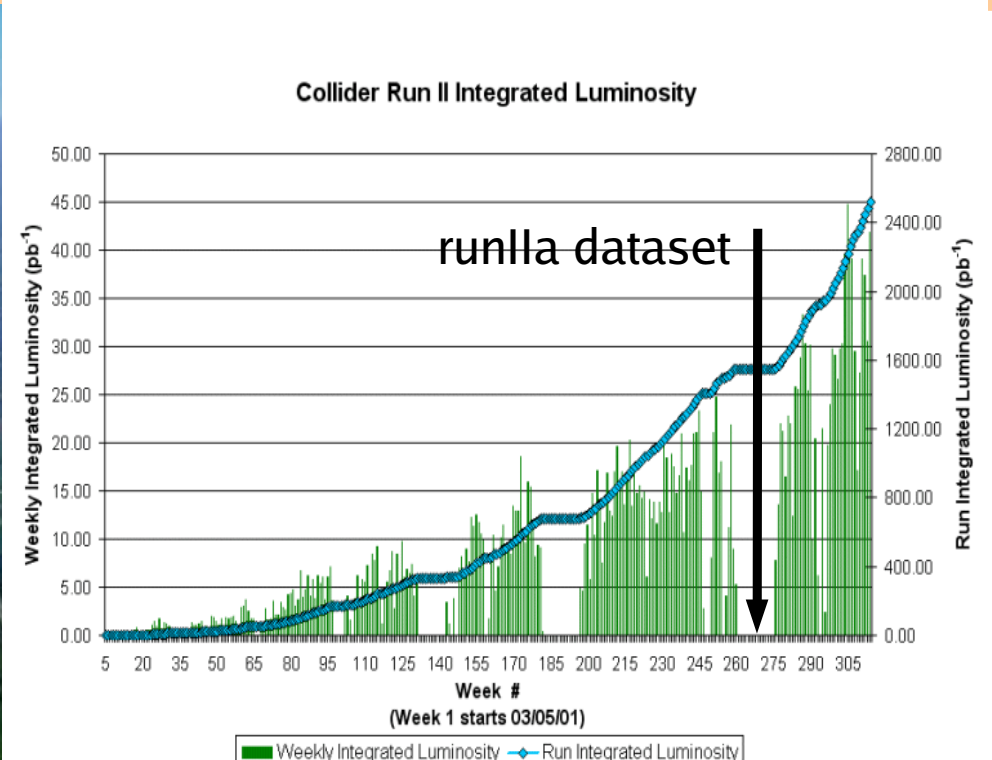
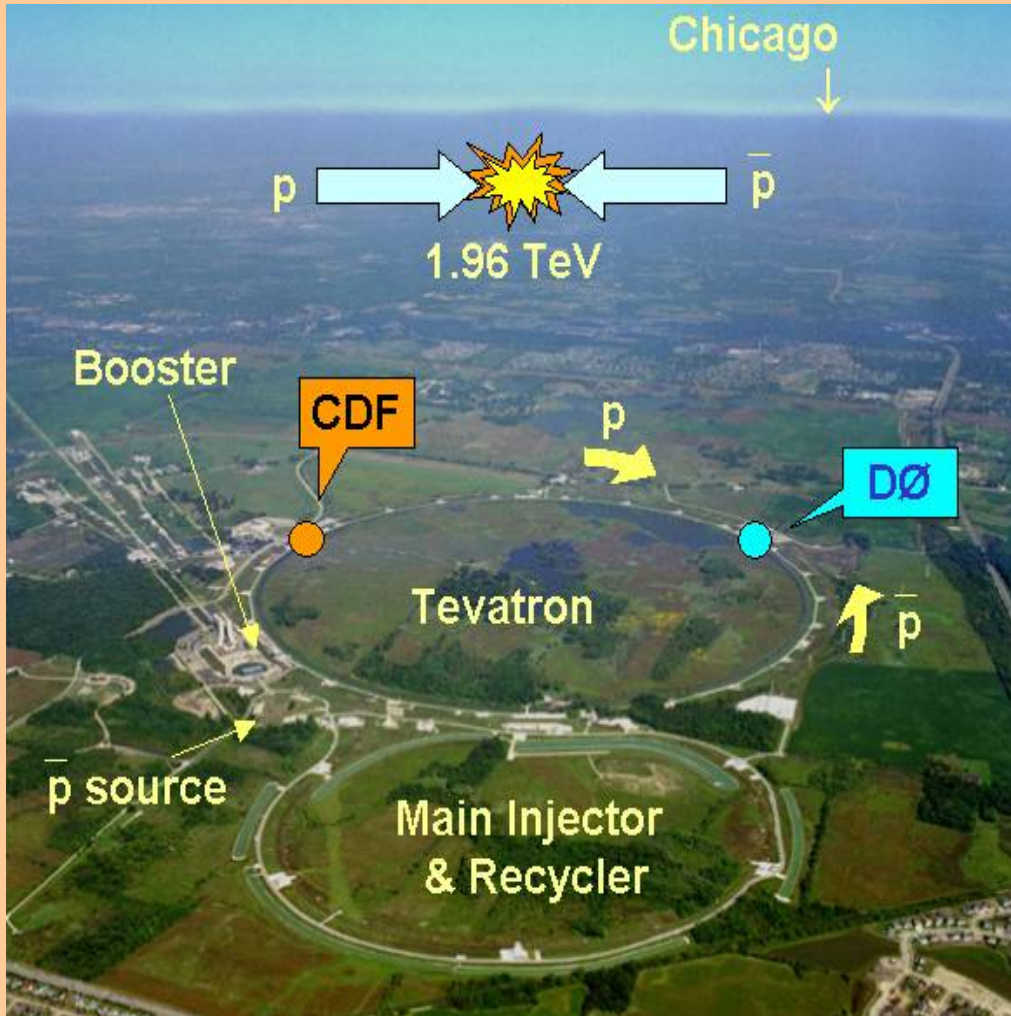
Séminaire Grenoble 15 mai 2007



- Le TeVatron, CDF & DØ
- Recherche du boson de Higgs du modèle standard
- Les bosons de Higgs du Modèle Standard Supersymétrique Minimal (MSSM)
- Conclusions



The TeVatron

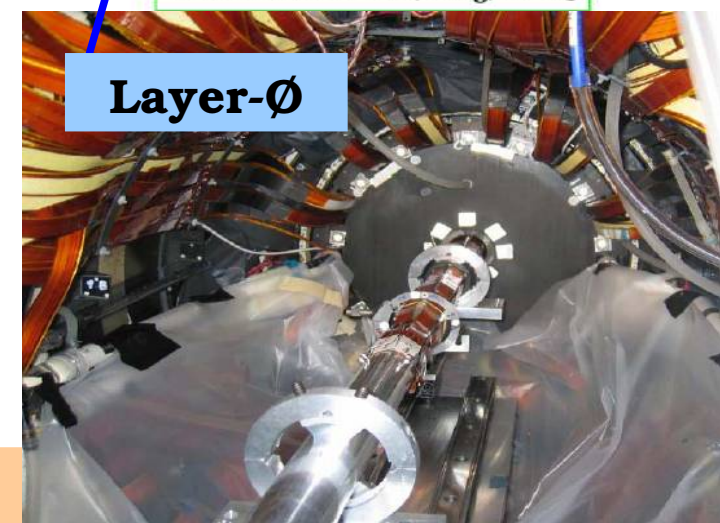
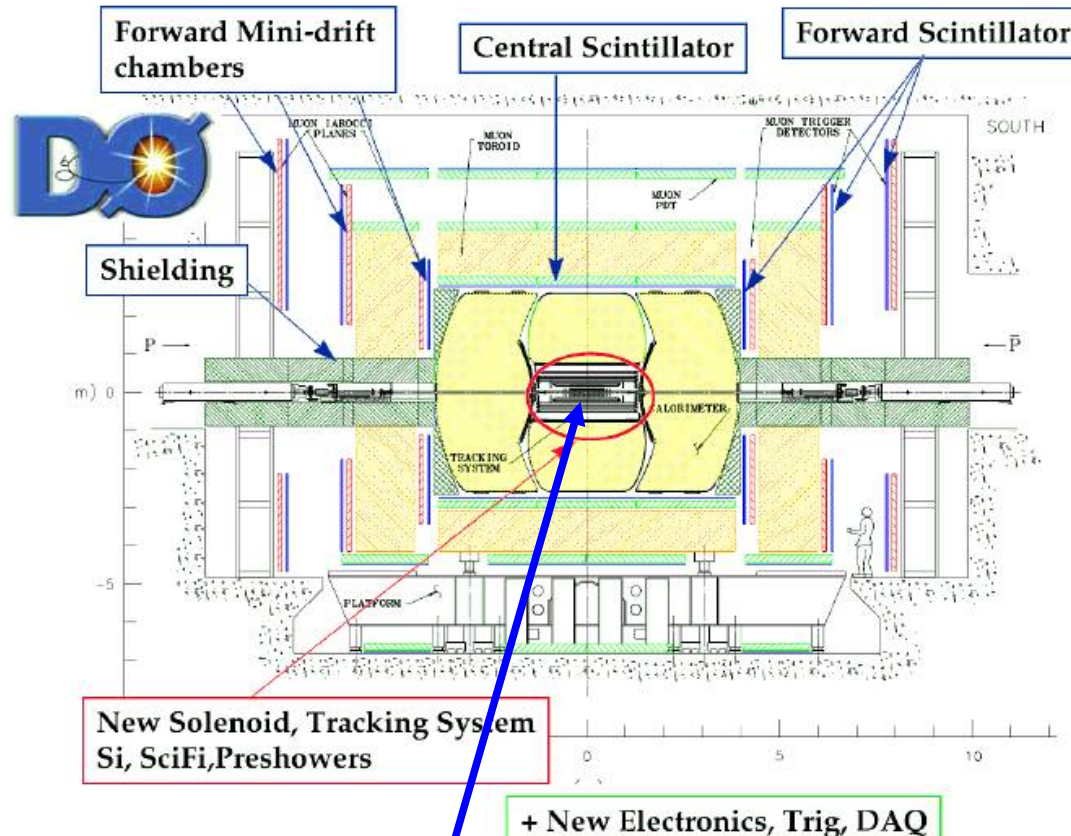
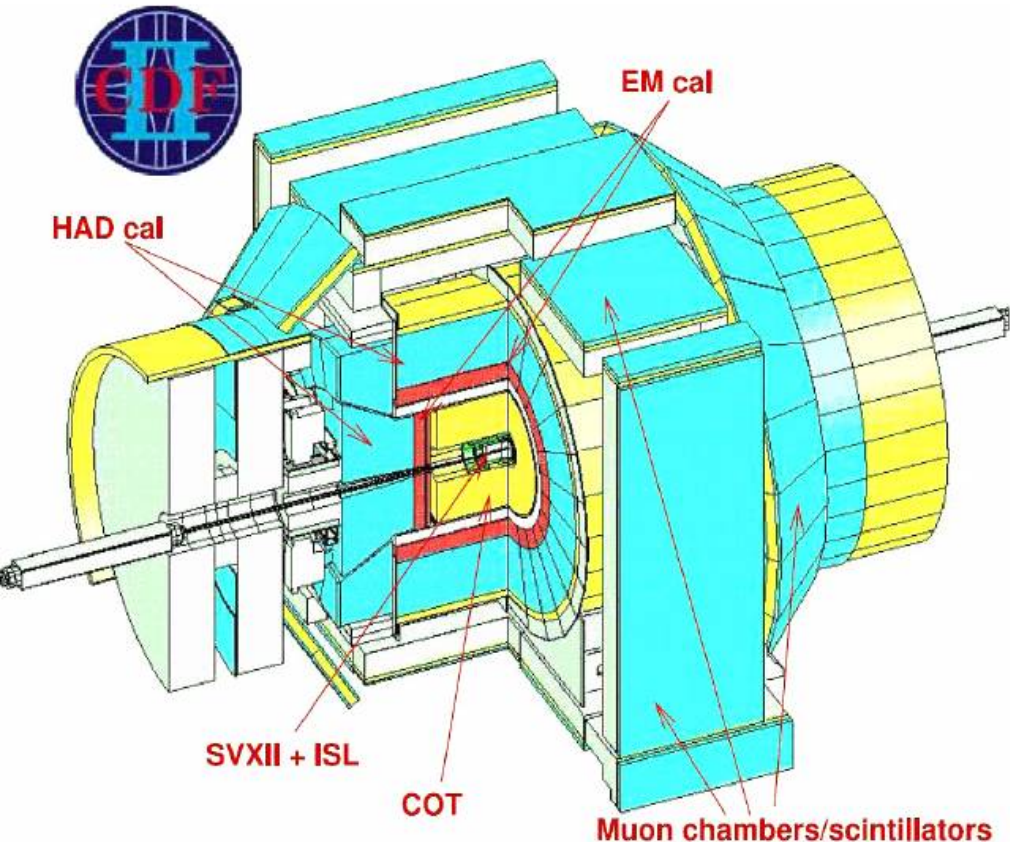


Efficacité de collection: 85-90%
Analysées : 1.2 fb^{-1}
Enregistrées : 2.2 fb^{-1}

Record de lumi instantanée
 $285\text{E}30 \text{ cm}^{-2}/\text{s}^{-1}$ (02/2007)



D \emptyset and CDF detectors



DéTECTEURS GÉNÉRALISTES

- détecteurs silicium au centre
- central tracker
- Calorimètres (EM/ HAD)
- Système à muon



Le boson de Higgs du Modèle Standard

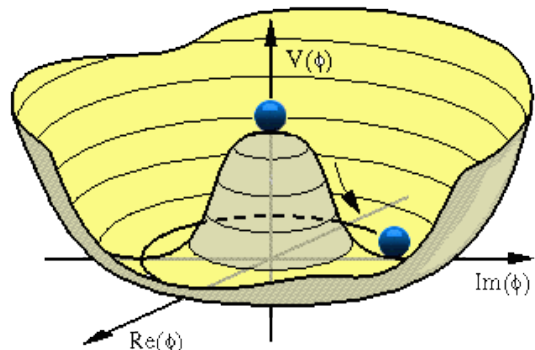


Fin du dernier millénaire, **triomphe de la Théorie électrofaible et de $SU(2) \times U(1)$**



MAIS, terme de masse non invariant de jauge
 \Rightarrow Particules sans masse!

Mécanisme de Higgs: ajouté un champ scalaire (doublet de $SU(2)$) avec le bon potentiel



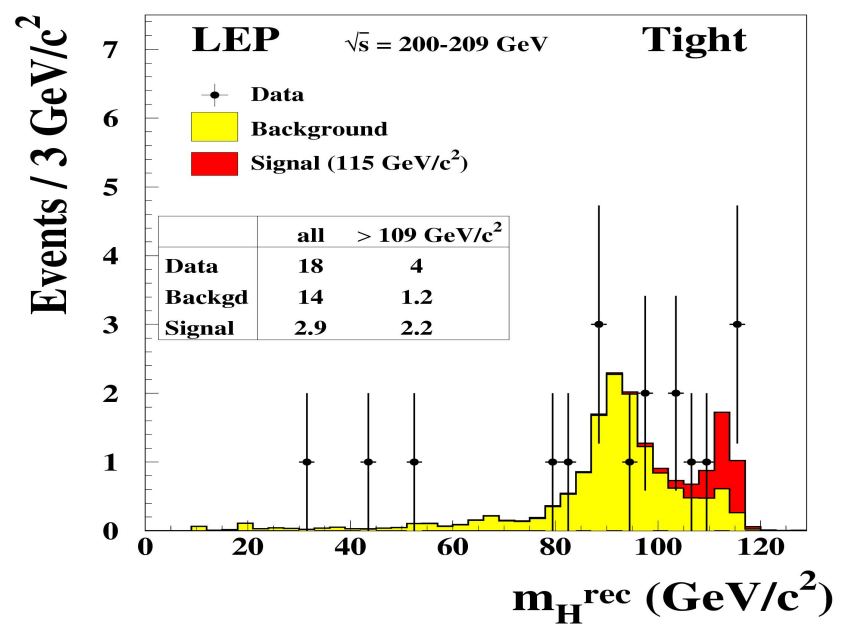
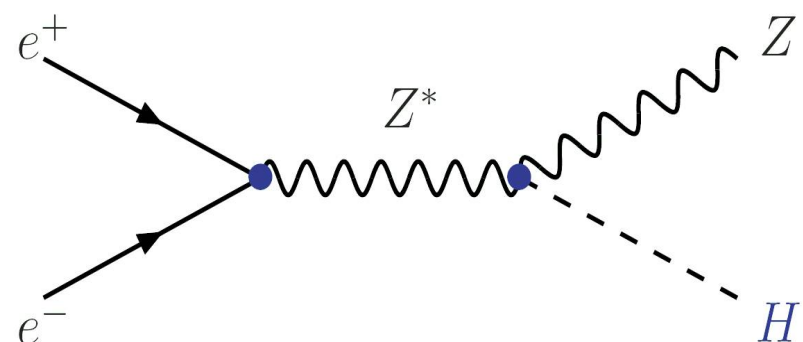
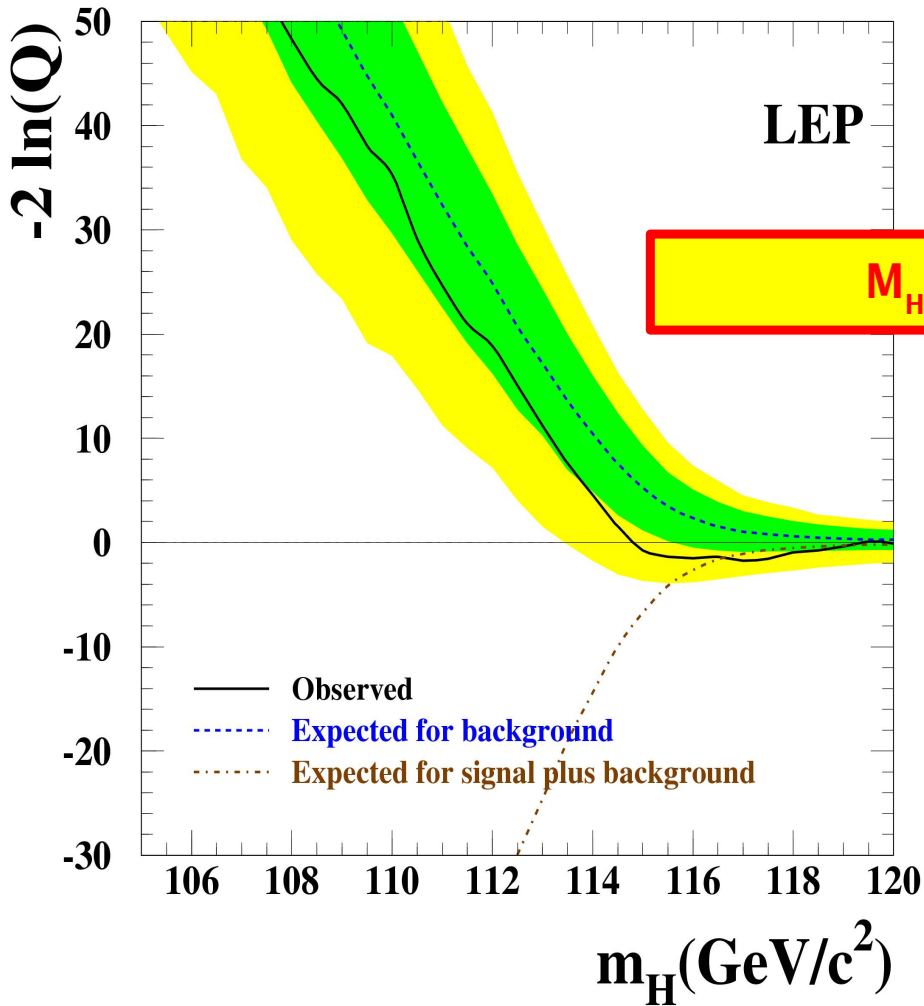
- symétrie de jauge se brise
- bosons de jauge \rightarrow massiques
- couplages de Yukawa
 \rightarrow fermions massiques



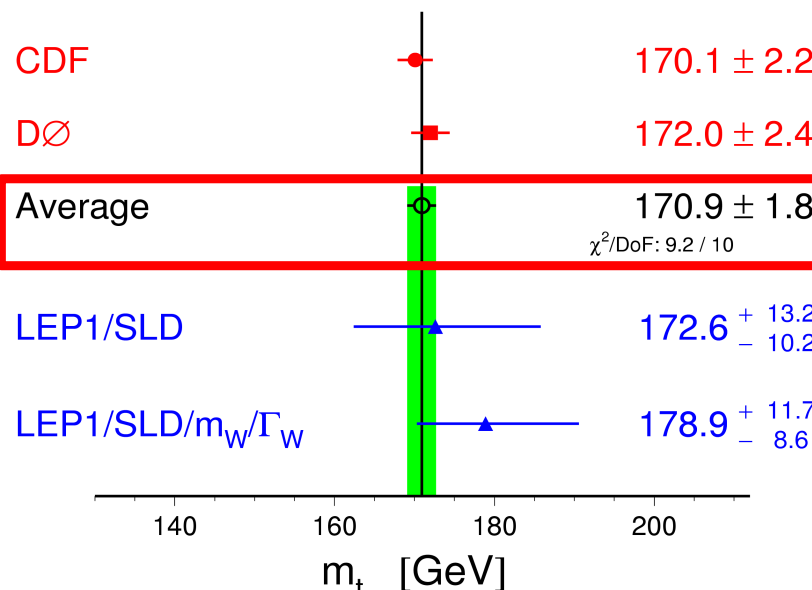
relicat: le boson de Higgs,
mais m_H non prédict



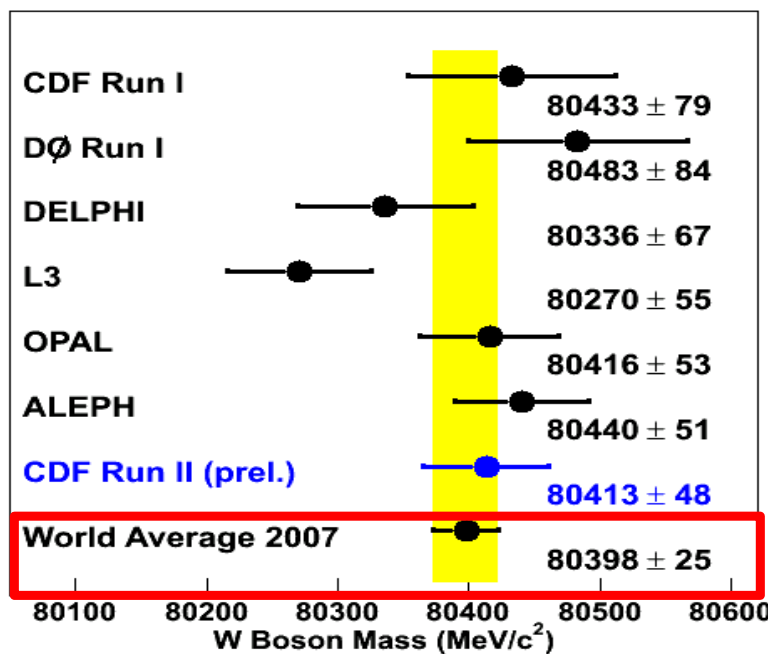
Recherche directe du boson de Higgs à LEP



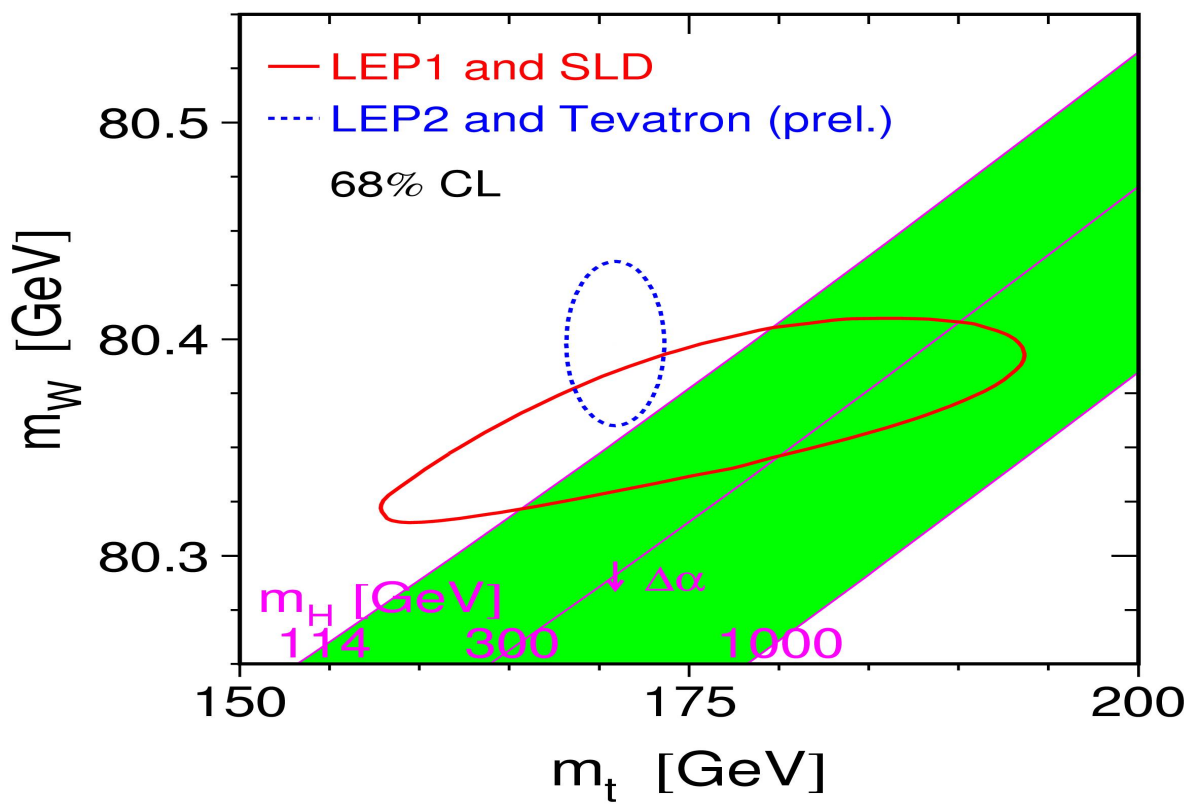
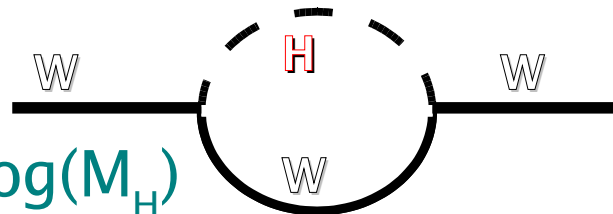
Top-Quark Mass [GeV]

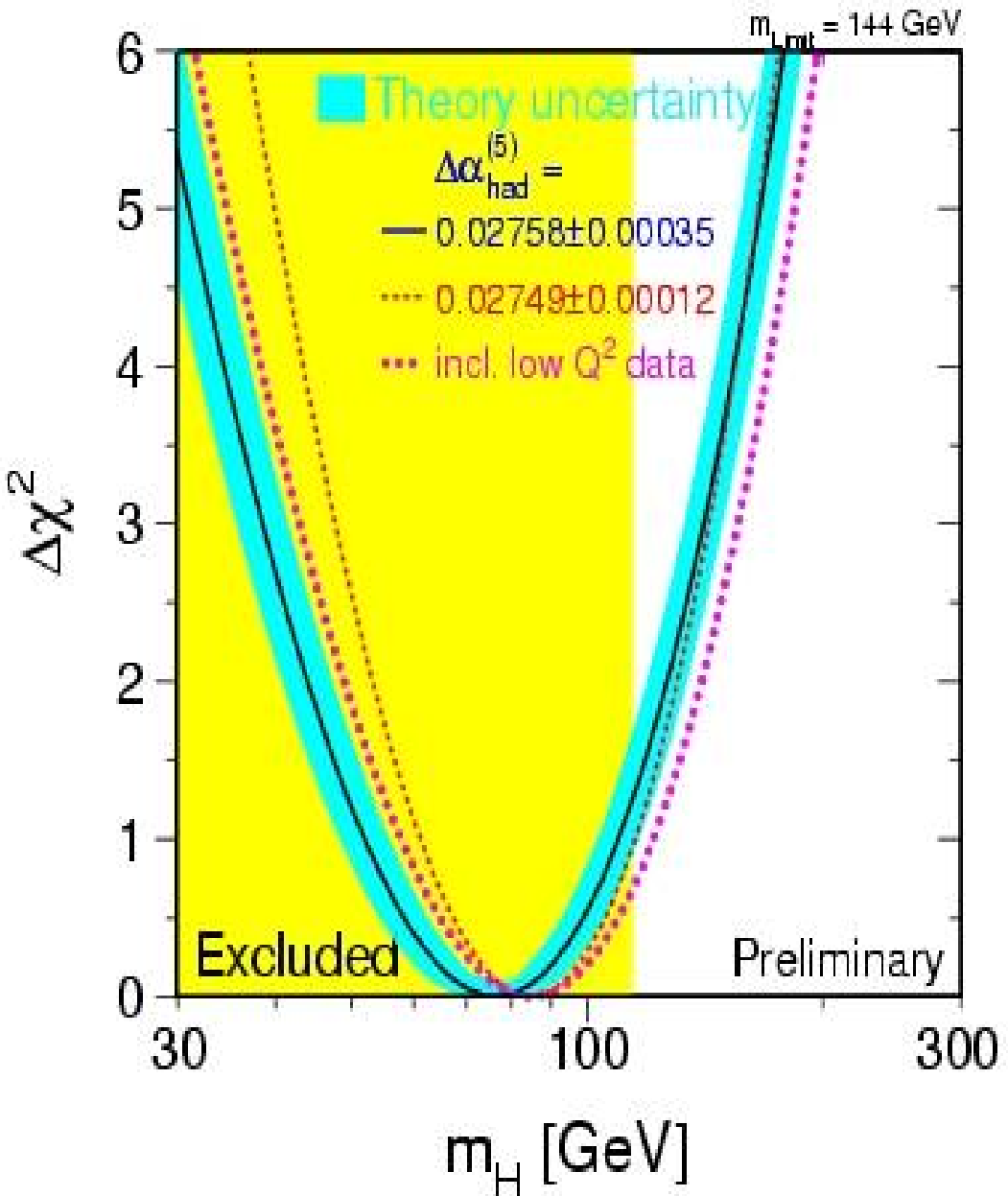


Combinations Mars 2007



Nouveaux résultats au Tevatron Masses du top ET du W (CDF)





LEP EWG: Winter07

$$M_H = 76^{+33}_{-24} \text{ GeV}/c^2$$

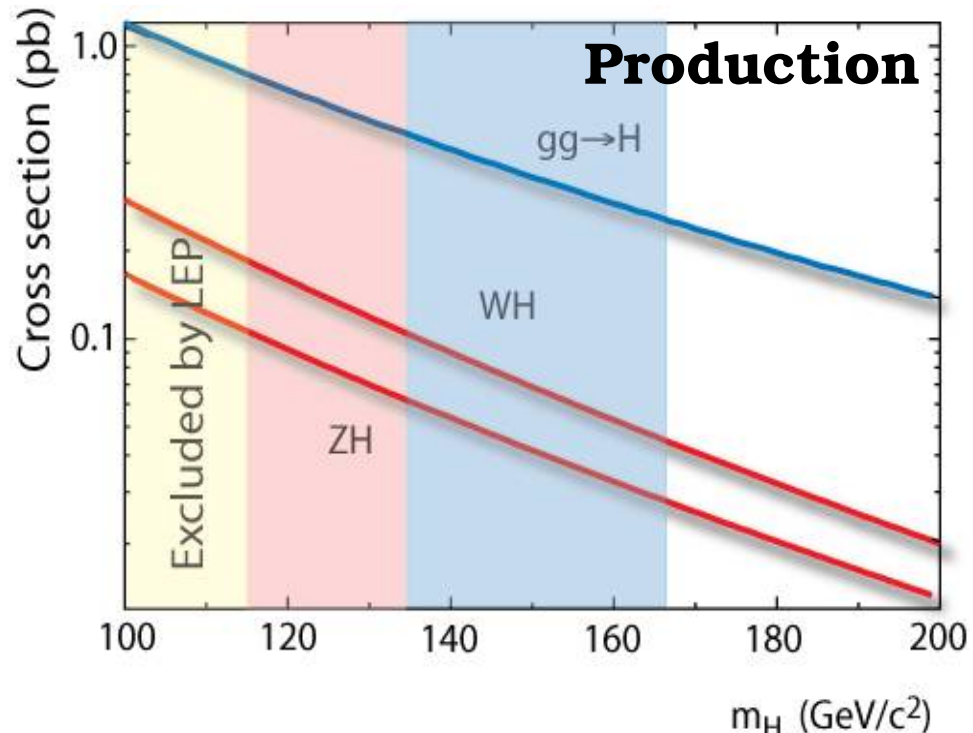
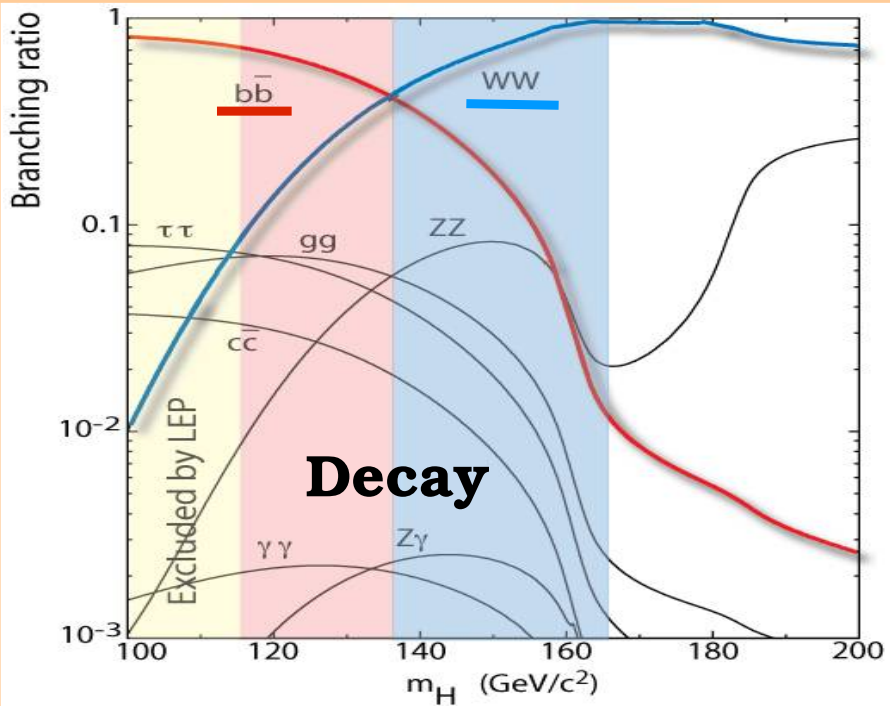
Upper limits @ 95 % CL

No direct search

$$M_H < 144 \text{ GeV}/c^2$$

Including LEP

$$M_H < 182 \text{ GeV}/c^2$$



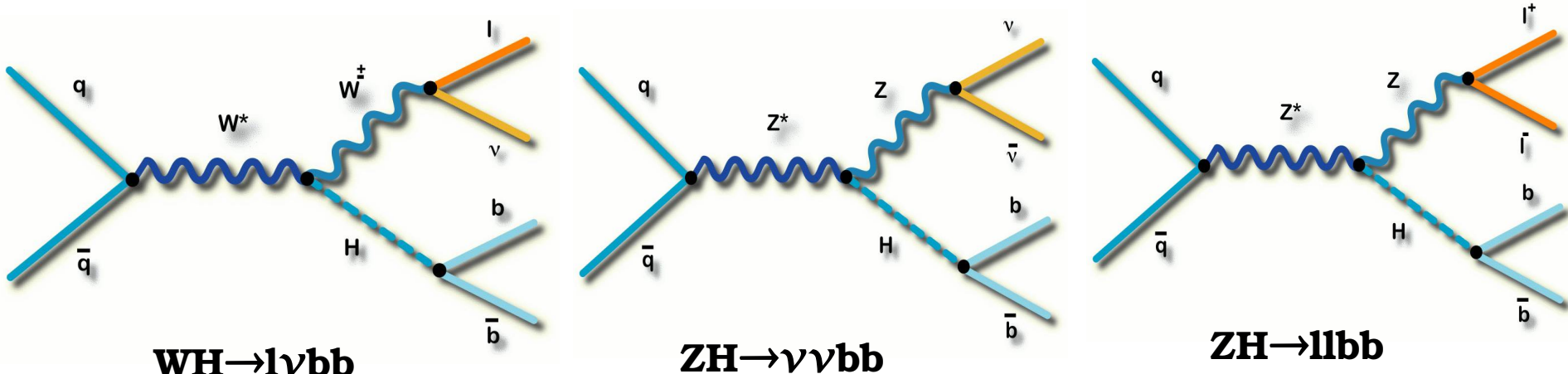
☛ Higgs de basse masse ($m_H < 135 \text{ GeV}/c^2$)

Au Tevatron, seule chance $H \rightarrow b\bar{b}$. Mais trop de bruit de fond QCD pour production inclusive \Rightarrow **production associée WH, ZH** (étiquetage avec leptons de haut p_T)

☛ Higgs de haute masse ($m_H > 135 \text{ GeV}/c^2$)

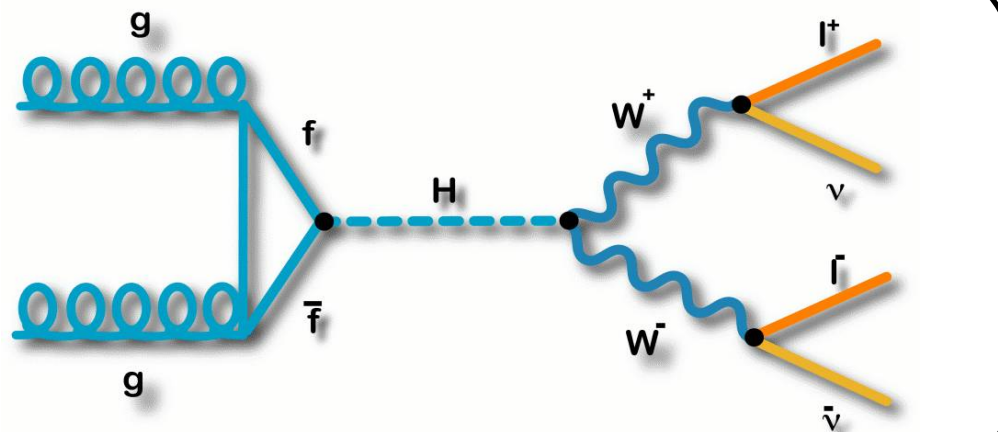
$H \rightarrow WW^*$ grand taux d'embranchement, “seulement” bruits de fond électrofaibles (di-boson): recherche de $gg \rightarrow H(X)$

Production associée: basses masses, 3 états finals



Gluon Fusion Production:
hautes masses,
utile aussi à basses masses

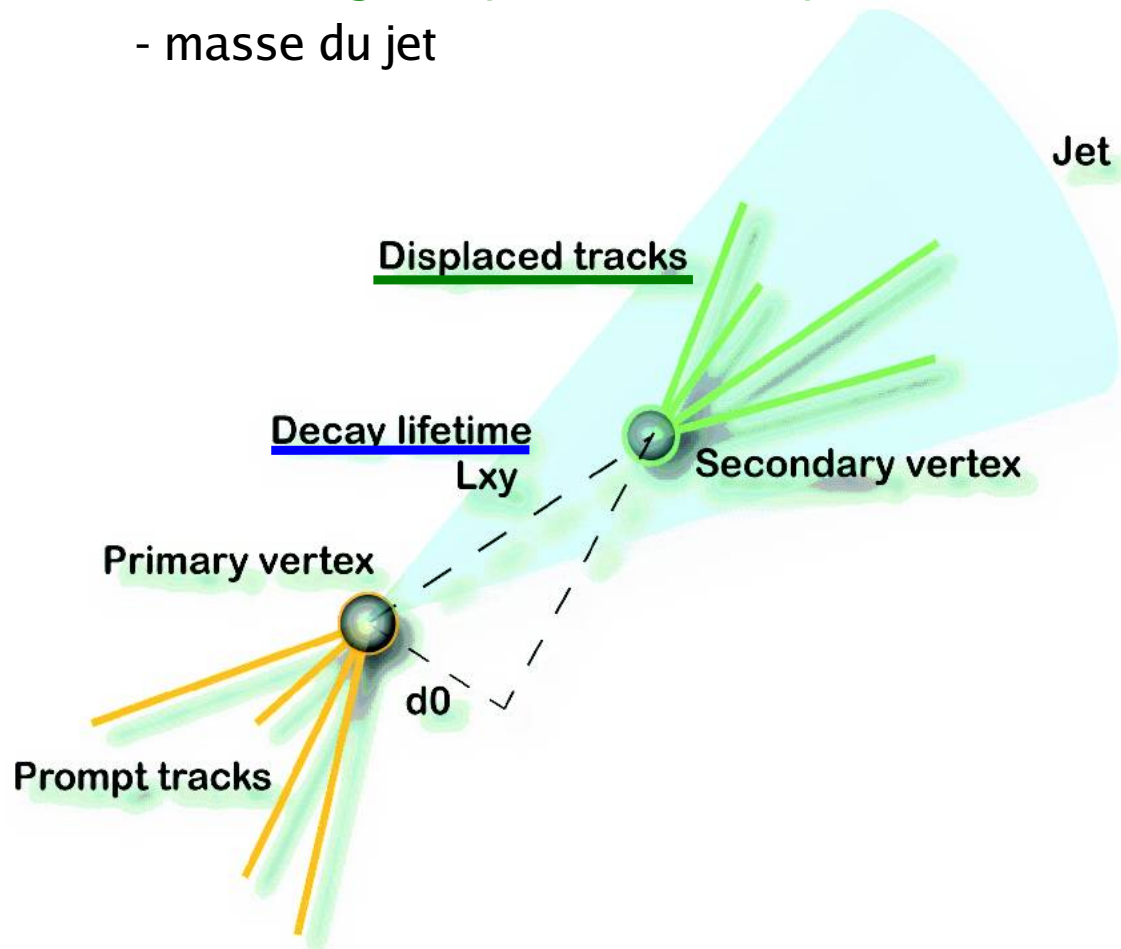
$H \rightarrow WW^* \rightarrow l\nu l\nu$



Identifier les jets de b

Hadrons b: grands temps de vie + lourd

- vertex secondaires
- traces à grand paramètre d'impact
- masse du jet

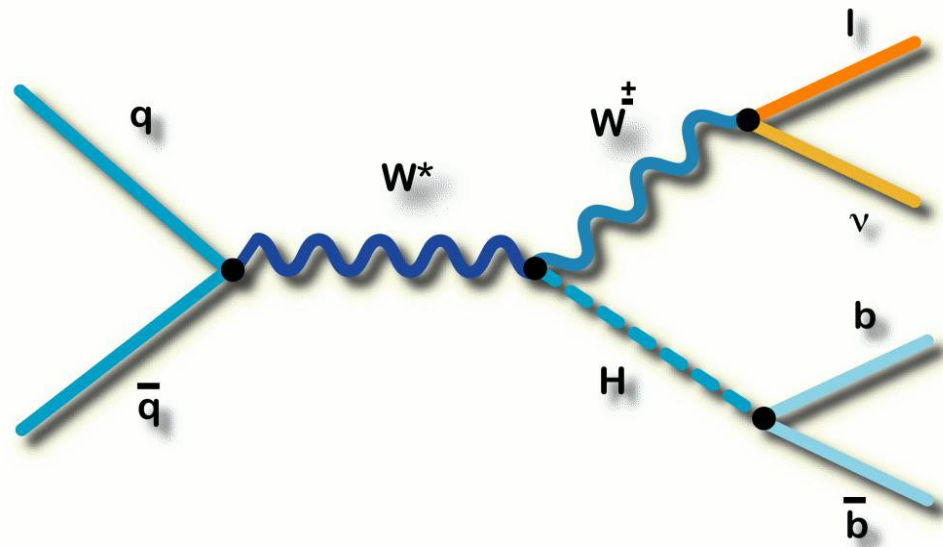


CDF:

- vertex secondaires puis NN
- ↳ efficacité (b): 40 / 50 %
↳ Réjection (j) : 0.5 / 1.5 %

DØ:

- informations cinématiques combinées dans un NN
- ↳ efficacité (b): 50 / 70 %
↳ Réjection (j) : 0.5 / 4.5 %



ICHEP 06
955 pb⁻¹



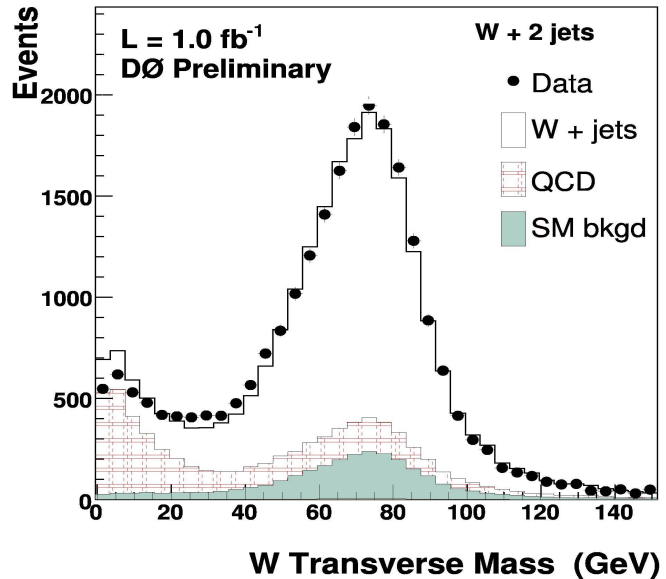
Moriond EW 07
1 fb⁻¹

Signature expérimentale:

- 1 lepton e, μ dur isolé; $p_T[l] > 20$ GeV/c
- Énergie transverse manquante (neutrino)
 $m_{ET} > 20$ GeV
- au moins 2 jets de haut p_T
 $p_T > 20$ (15) GeV/c à Dzero (CDF)
- Identification des jets de b (1 seul ou les 2)

Bruits de fond:

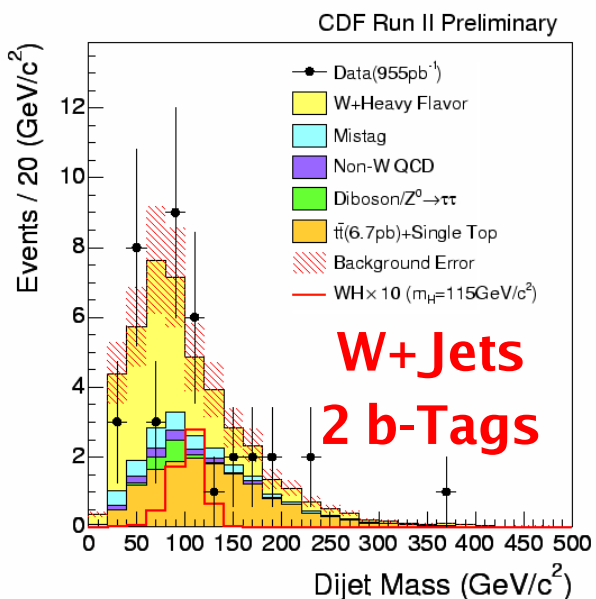
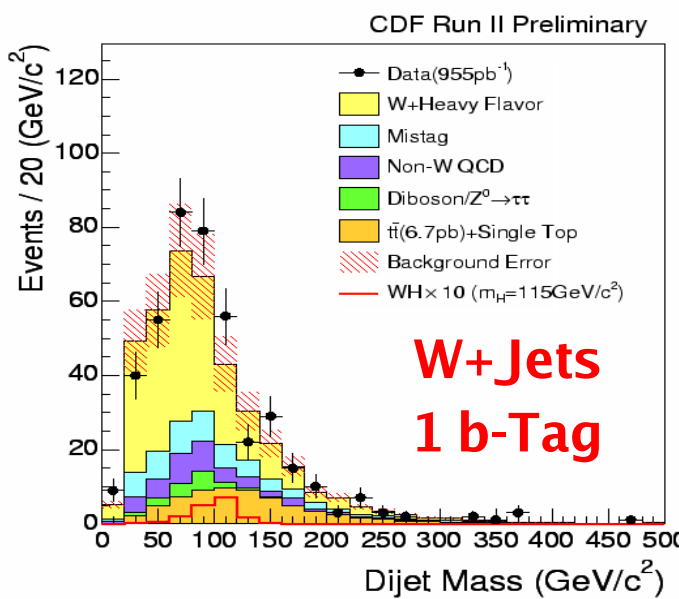
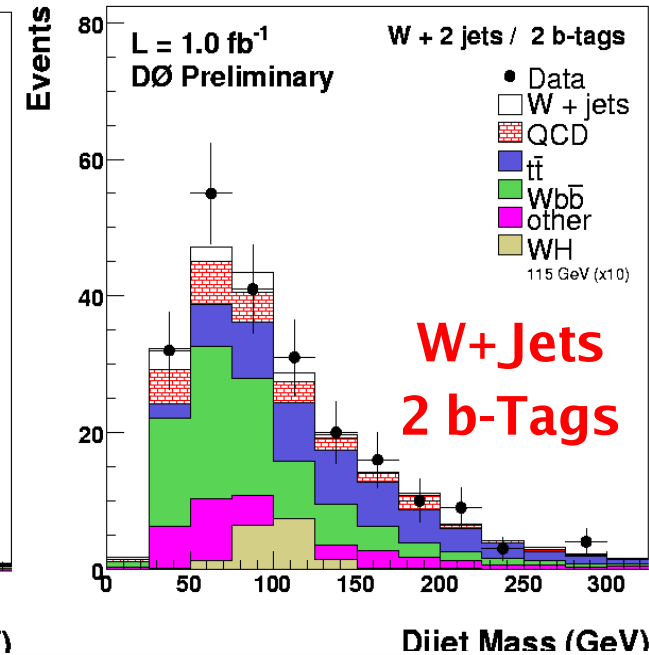
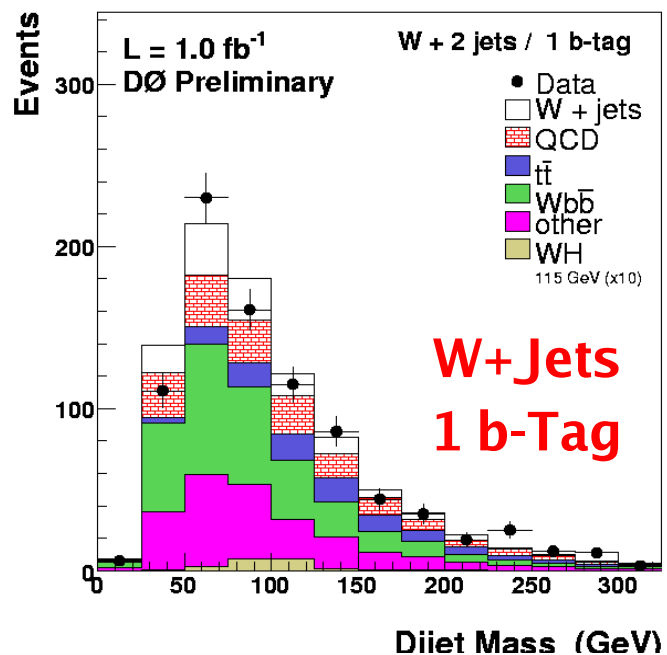
- W + jets
- QCD (B semi-leptonique)
- t tbar + single top
- diboson ZW



Avant tagging

Bruit de fond W+jets

Normalisation du MC au
données avant tagging en
prenant en compte les
autres bruits de fond





Résultats WH



Limites à 95 % CL ($m_H = 115 \text{ GeV}/c^2$)

1 fb⁻¹



$\sigma (\times \text{SM}) \text{ exp}$

1.1 pb (9 \times SM)

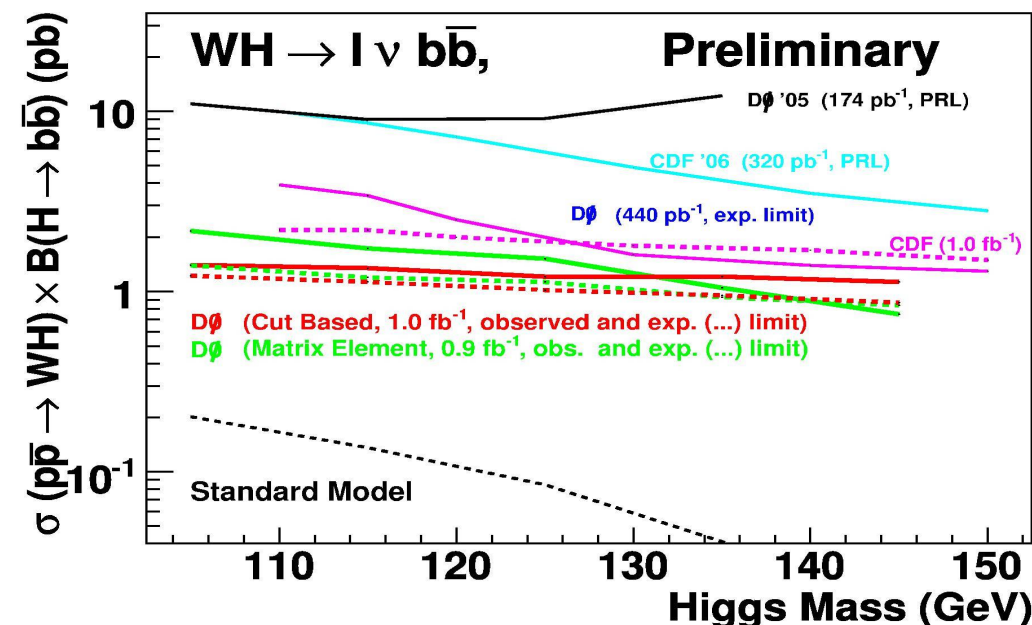
2.2 pb (17 \times SM)

$\sigma (\times \text{SM}) \text{ obs}$

1.3 pb (10 \times SM)

3.4 pb (26 \times SM)

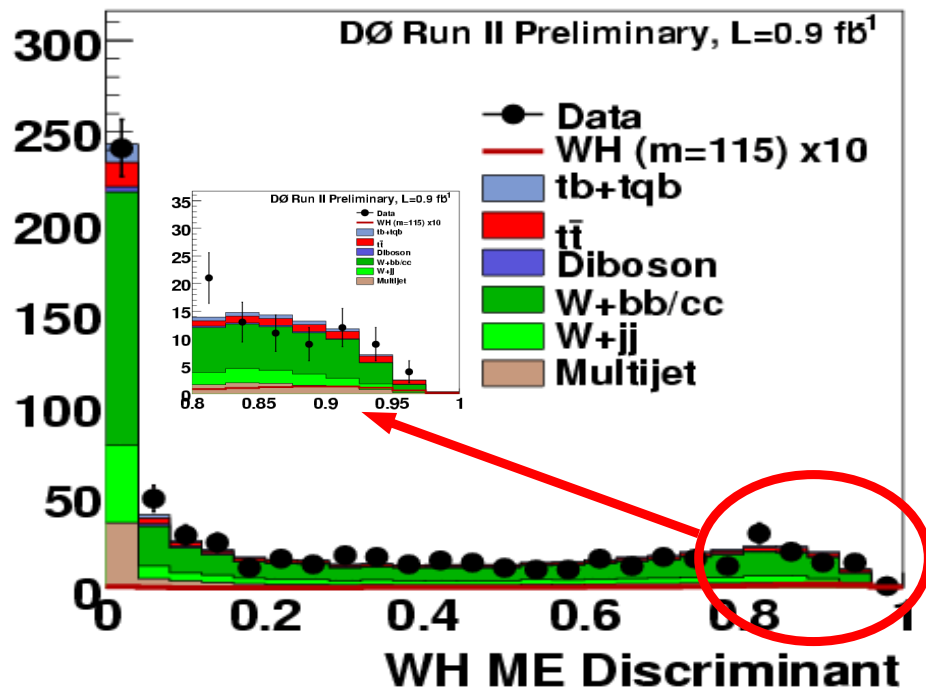
Dzero utilise tous
les triggers muons:
+50% de signal !



WH ou ZH systèmes complexes, contiennent plus d'informations que la seule masse invariante dijet: **bénéfices des techniques multivariables pour discriminer signal/bruit de fond!**

Un exemple: la méthode des éléments de matrice appliquée à WH

Rapport de Likelihood avec la méthode des éléments de matrices (cf plus loin)



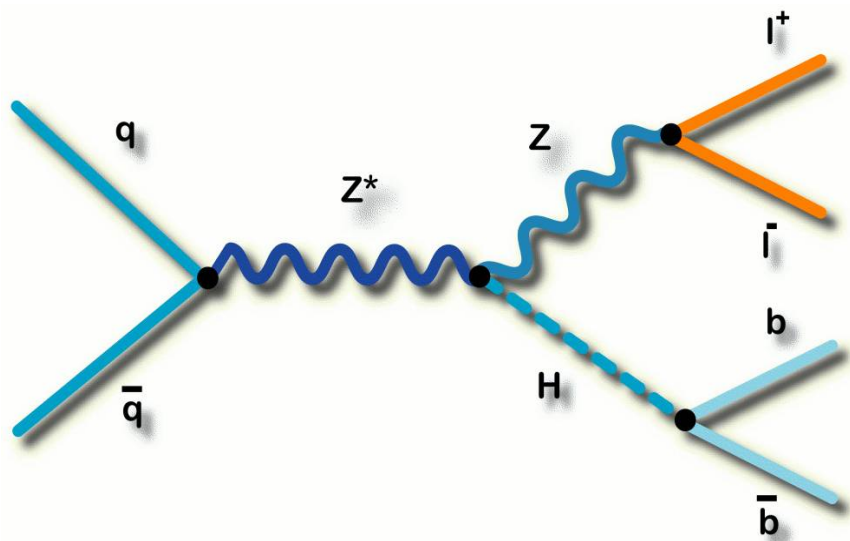
Dzero: "e cycle" analyse de recherche du single top pour la recherche du Higgs.

Comparaison avec l'analyse "coupures"

- pas d'optimisation, 30% moins efficace
- luminosité moins élevée
- pourtant **quasi aussi sensible** !

ME: $\sigma < 1.7$ (1.2) pb, obs (exp)

cut : $\sigma < 1.3$ (1.1) pb, obs (exp)



Moriond QCD 07
 $\sim 1 \text{ fb}^{-1}$



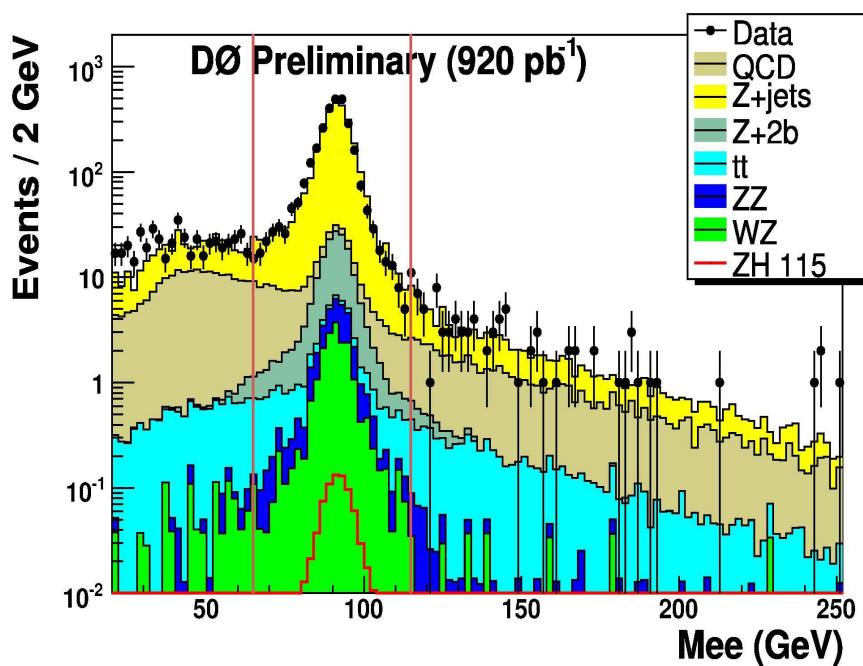
Novembre 06
 $840-920 \text{ pb}^{-1}$

Signature expérimentale:

- 2 leptons (2e ou 2 μ) durs,
masse invariante compatible avec Z
- au moins 2 jets de haut p_T
- Identification des jets de b (1 seul ou les 2)

Bruits de fond:

- $Z + \text{jets}$
- $t \bar{t}$
- diboson ZZ



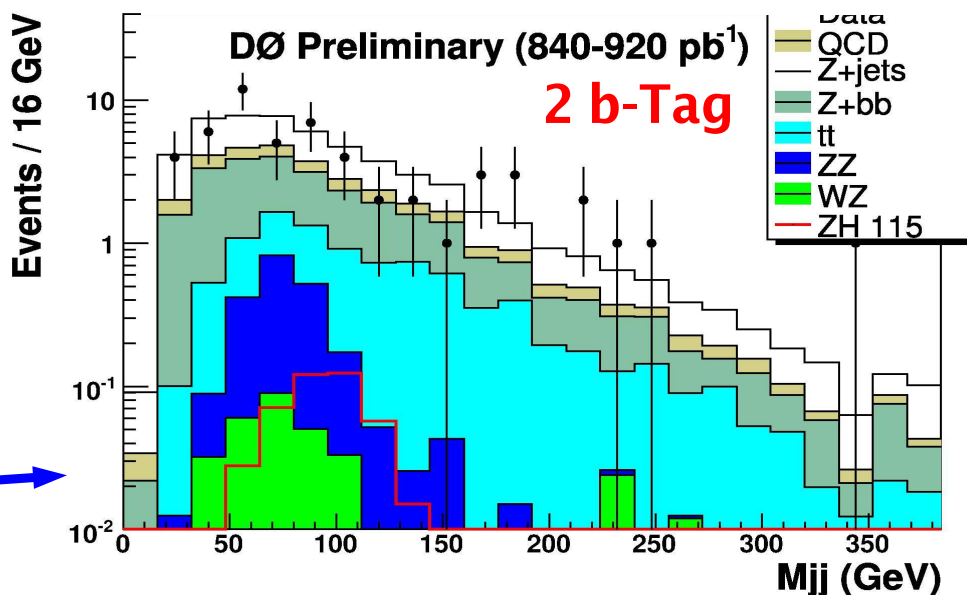
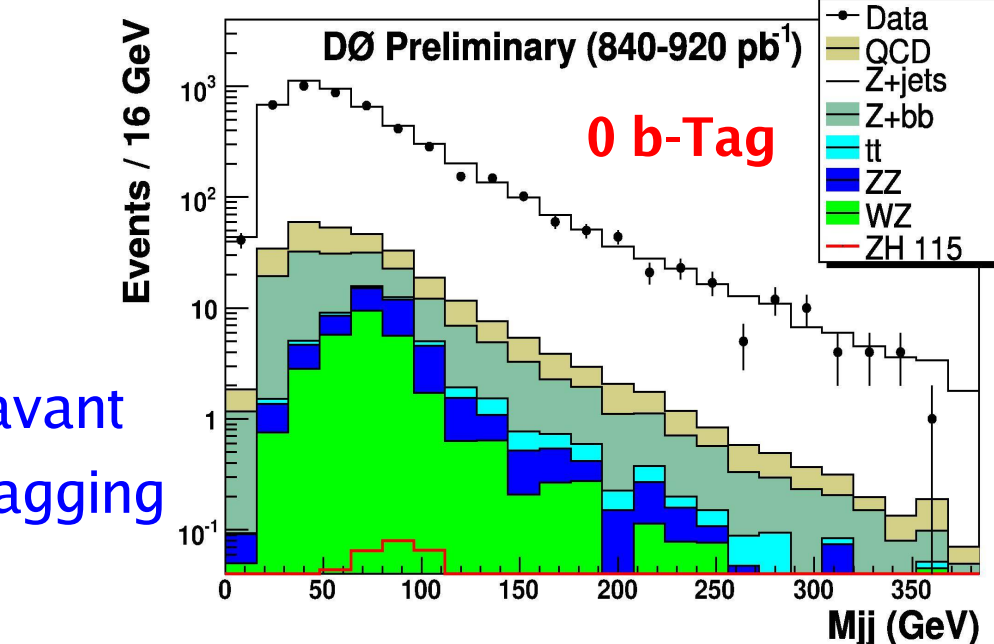
avant
b-tagging

- 2 jets $p_T > 15 \text{ GeV}/c$
- 2 leptons $p_T > 15 \text{ GeV}/c$

coupe sur m_{ll}

- 2 b-Tag

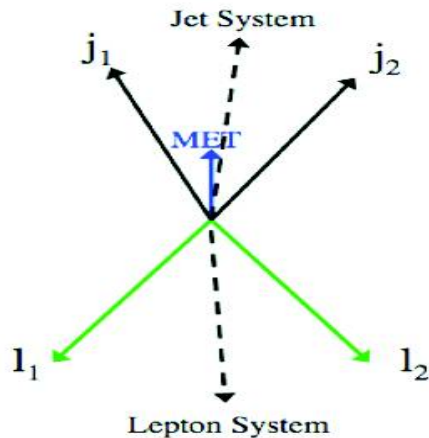
Limite sur la masse
invariante di-jet



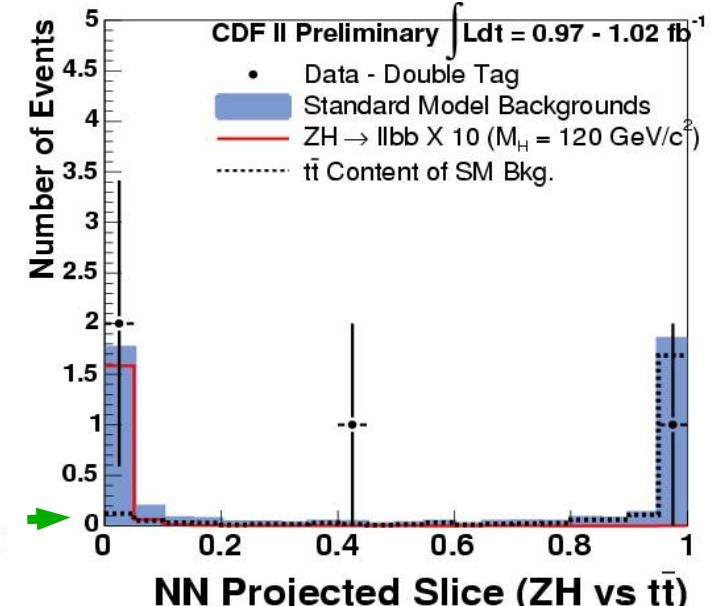
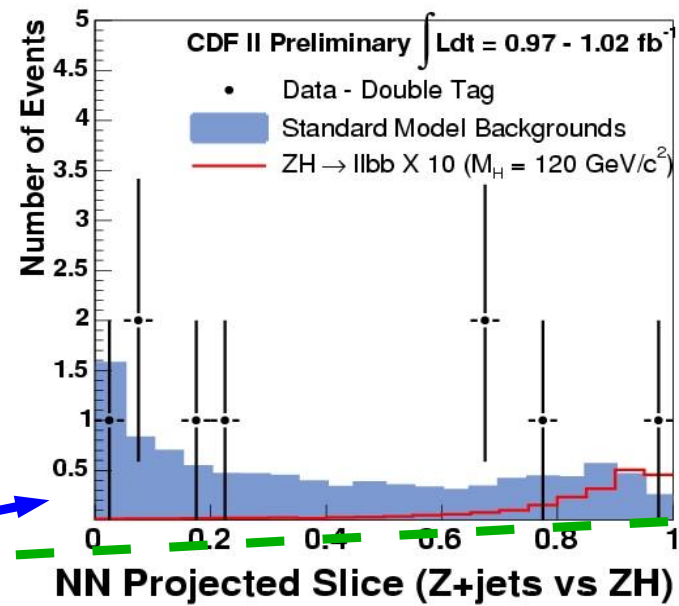
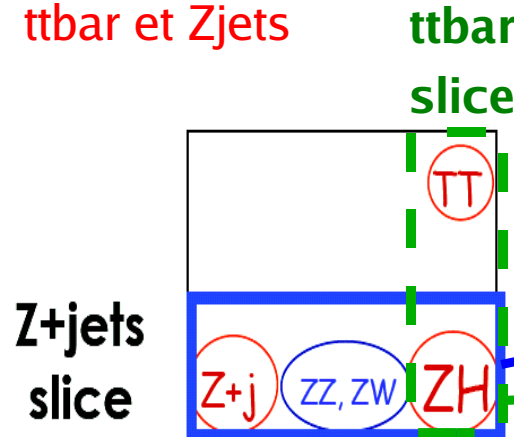
Analyse sophistiquée à CDF. Deux points clefs:

1. calcul des jets p_T en imposant $m_{ET} = 0$

améliore résolution en masse dijet (15 %)
équivaut à lumi $\times 1.3$



2. NN 2D pour lutter séparément **contre**
ttbar et Zjets





Résultats ZH → ll bb



Limites à 95 % CL ($m_H = 115 \text{ GeV}/c^2$)

1 fb⁻¹



$\sigma (\times \text{SM}) \text{ exp}$

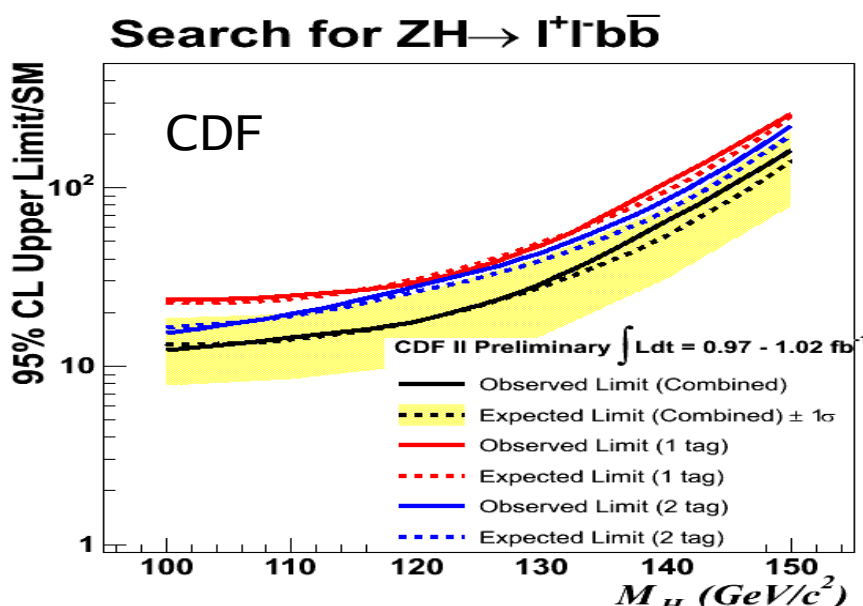
2.8 pb (34×SM)

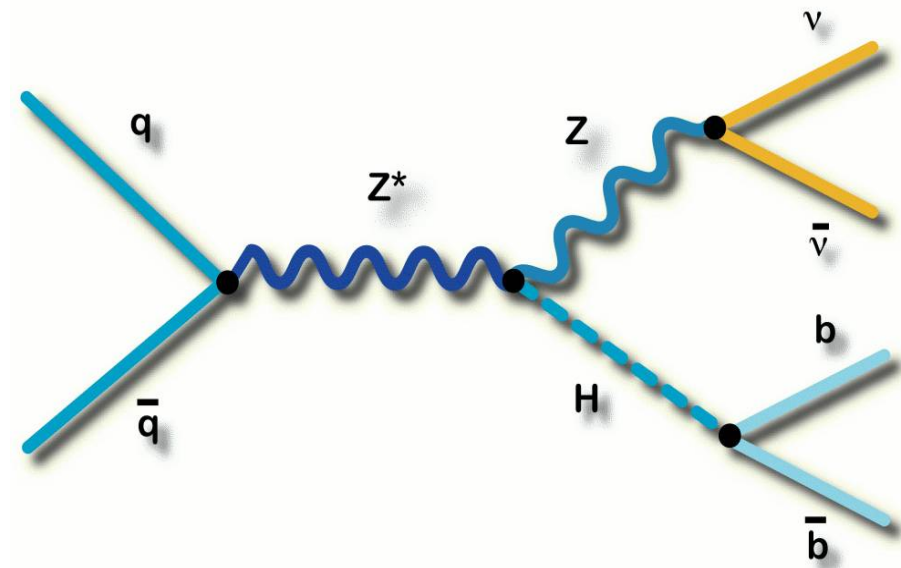
1.3 pb (16×SM)

$\sigma (\times \text{SM}) \text{ obs}$

2.7 pb (33×SM)

1.7 pb (21×SM)





ICHEP 06
970 pb⁻¹



avril 2007
930 pb⁻¹

Signature expérimentale:

- au moins 2 jets de haut p_T
- large m_{ET} (2 neutrinos)
- pas de traces chargées isolées
- Identification des jets de b (1 seul ou les 2)

Bruits de fond:

- $W/Z + \text{jets}$
- **QCD saveurs lourdes**
- top

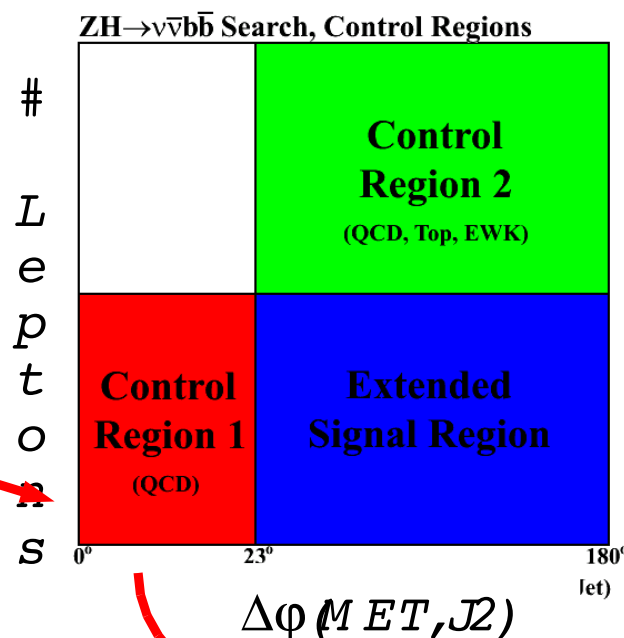
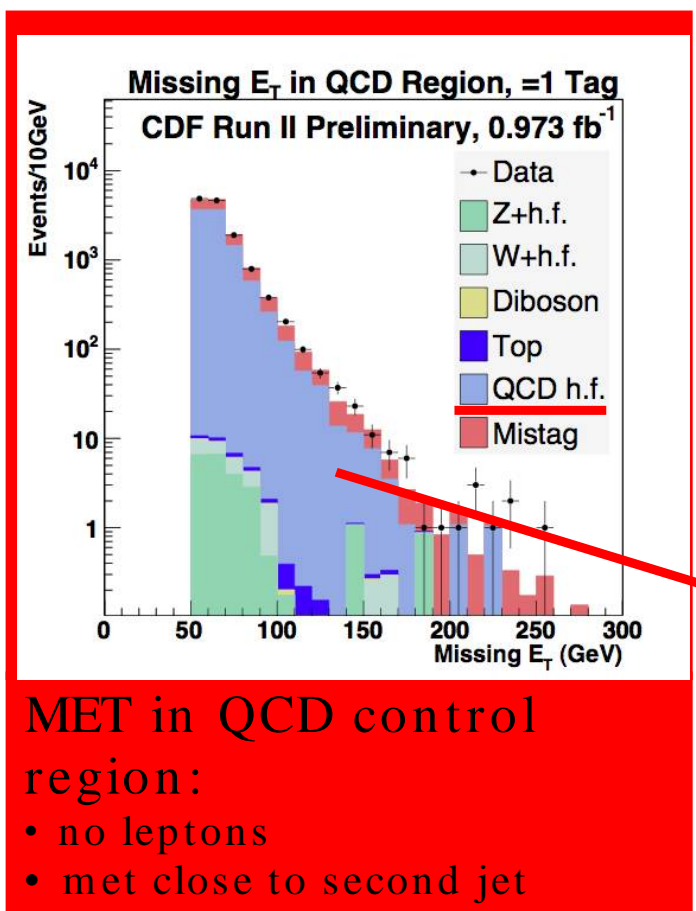
Bonus:

- $WH \rightarrow l\nu bb$ où l n'est pas détecté

Bruit de fond: QCD bb

Variables cinématiques: MC ?

Normalisation : seulement données



Distributions : MC
Normalisation : Data

Différentes définitions de l'énergie transverse manquante

Missing ET (mET): avec cellules du calorimètre

Missing HT (mHT): avec impulsions des jets

Missing Trk pT (mTrk): avec traces chargées

Signal: pointent toutes dans

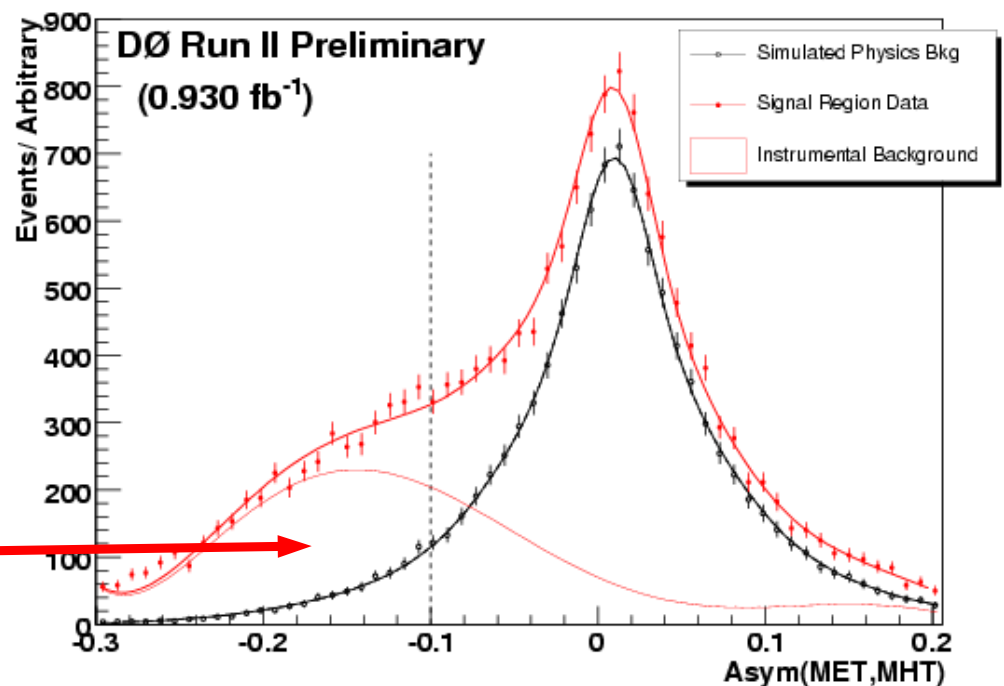
la même direction

di-jet : mET créée par jets
malmesurés



Fenêtre Signal:

- ✗ Asym(MET,MHT) =
 $(\text{MET}-\text{MHT})/(\text{MET}+\text{MHT}) > -0.1$
- ✗ $\Delta\phi(\text{MET},\text{MTrkPt}) < \pi\pi/2$
- ✗ Région de control:
✗ $\Delta\phi(\text{MET},\text{MTrkPt}) > \pi/2$





Résultats ZH → vv bb



Limites à 95 % CL ($m_H = 115 \text{ GeV}/c^2$)

1 fb-1



xSM exp : ZH/WH/comb

25 / 38 / ??

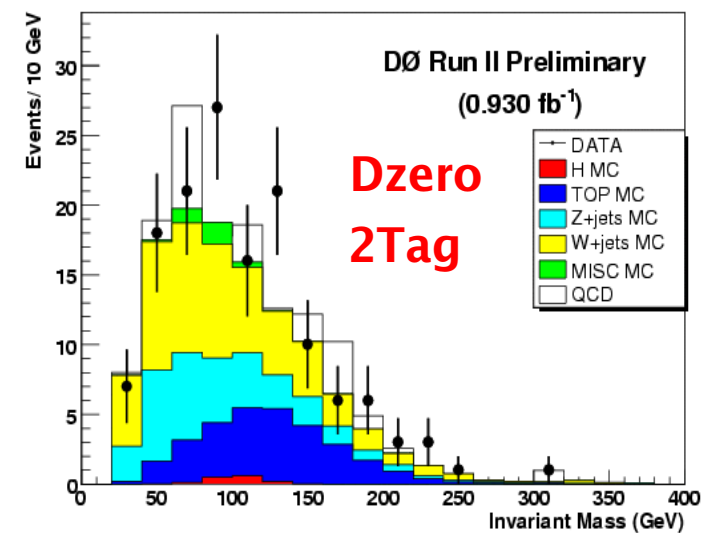
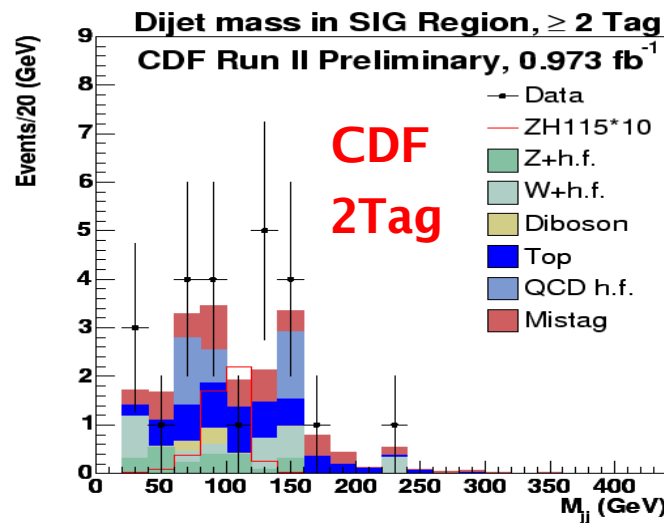
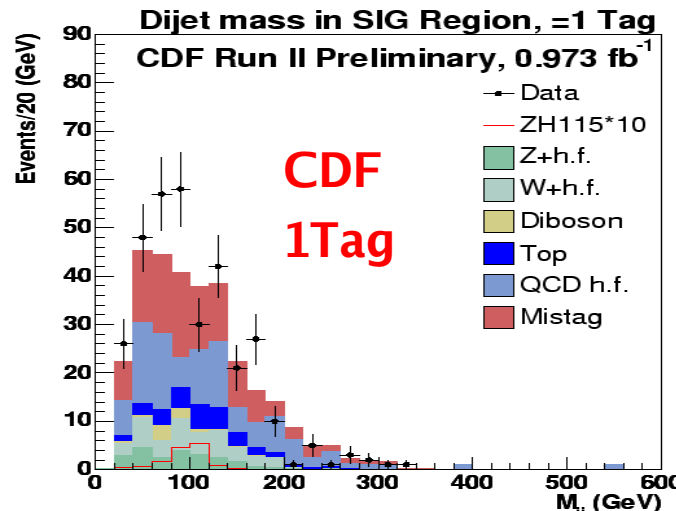
28 / 34 / 16

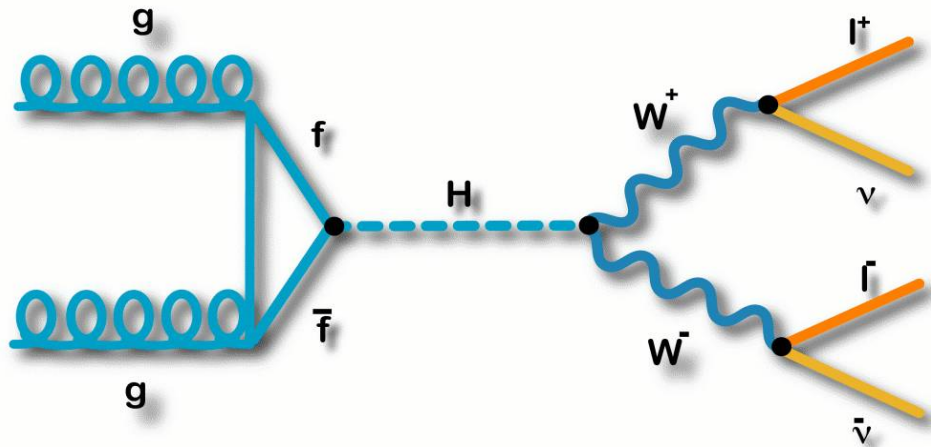
xSM obs :

comb

33 / 50 / ??

16





Moriond QCD 07
 1.1 fb^{-1}



ICHEP 06
 $930-950 \text{ pb}^{-1}$

Signature expérimentale:

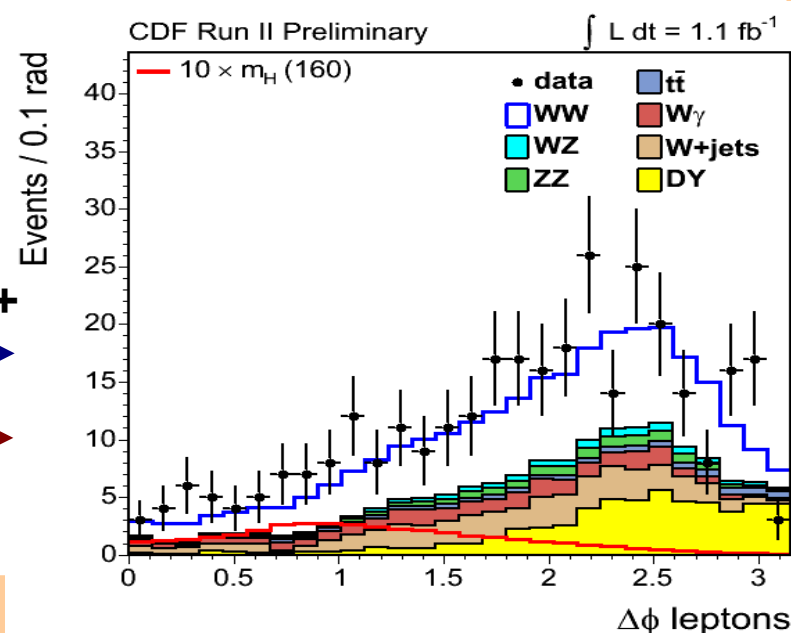
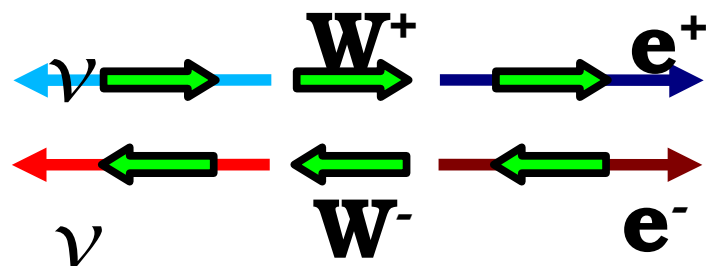
- 2 leptons de haut p_T (e ou μ)
- large m_{ET} (2 neutrinos)

Bruits de fond:

- WW / WZ
- $Z \rightarrow \tau\tau$
- Drell yan

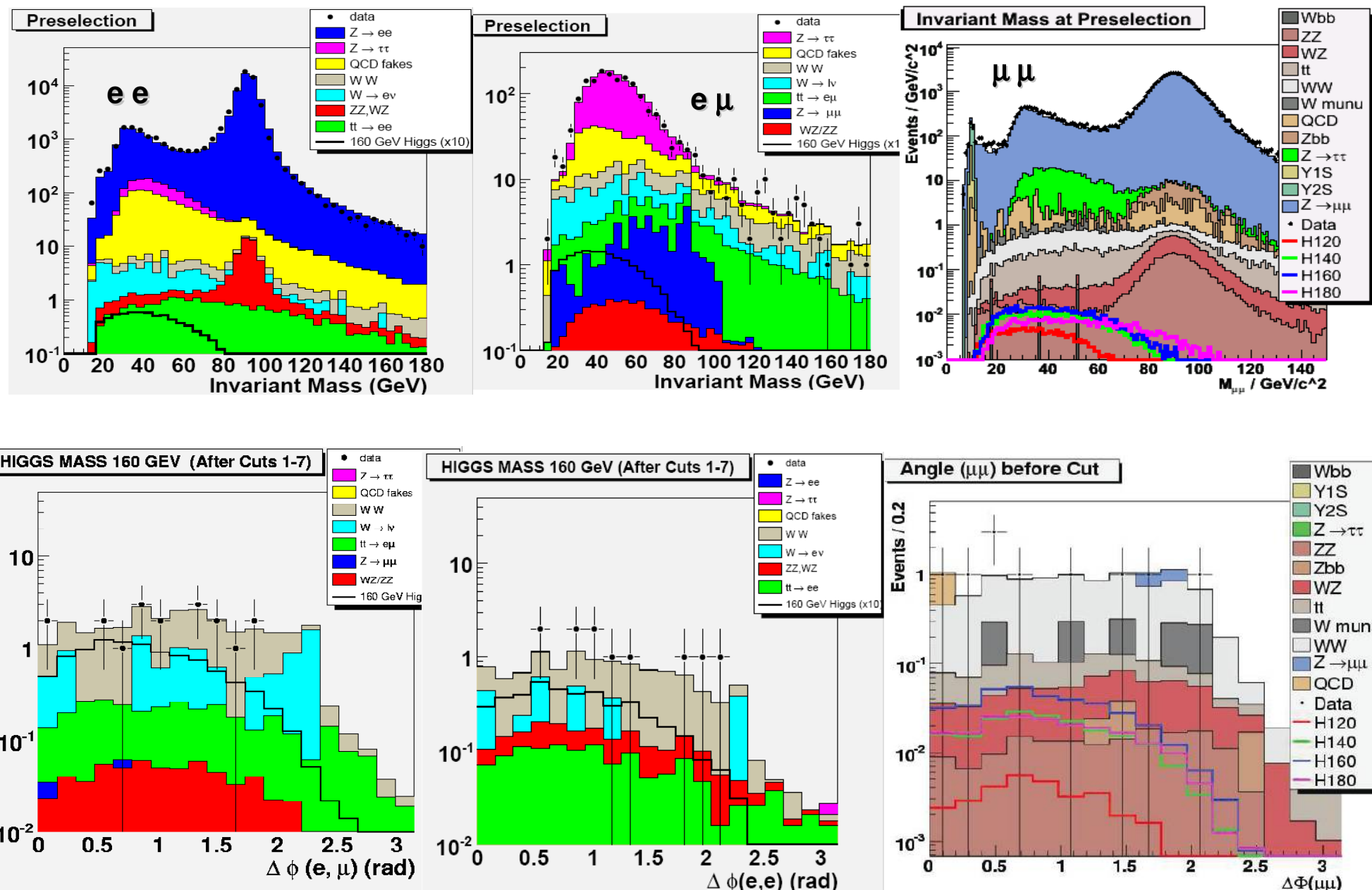
Higgs scalaire:

les 2 leptons sont
 "olinéaires"





H → WW* à Dzero



Probabilité d'observer la configuration cinématique "b s" en supposant l'évt issu du processus m.

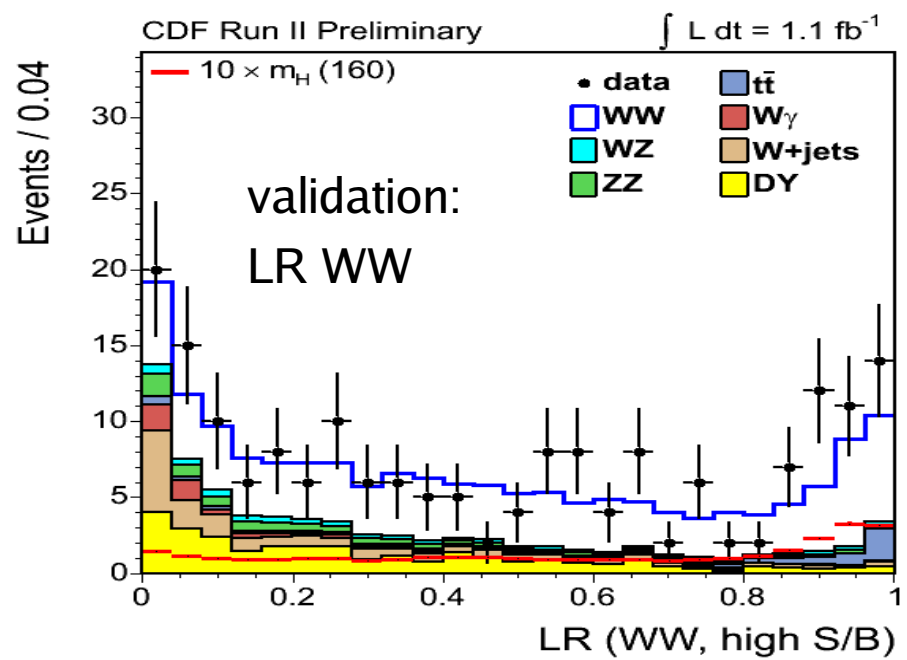
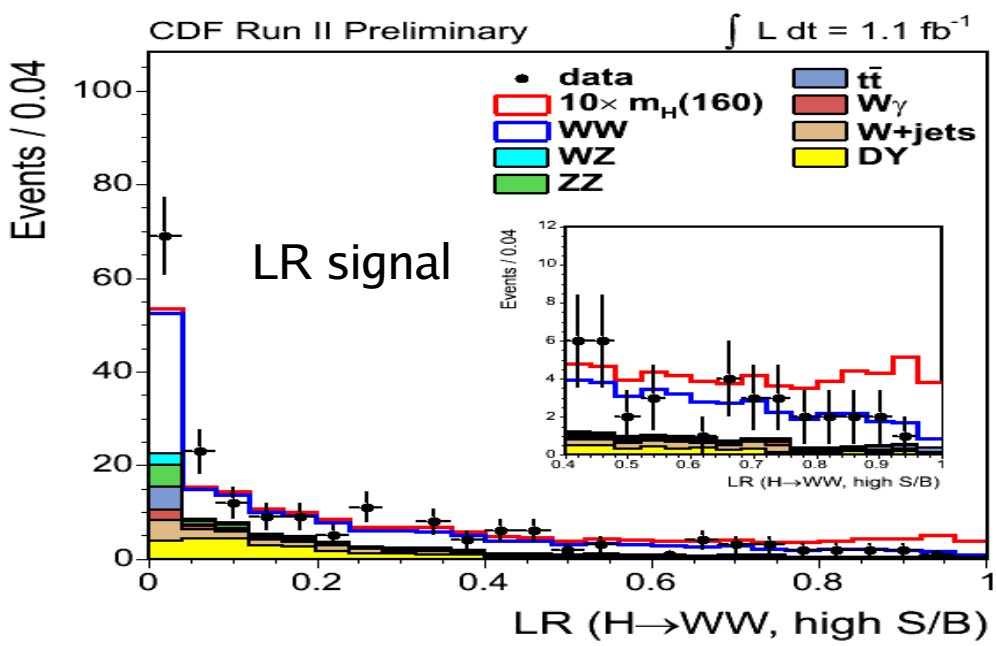
$$P_m(x_{obs}) = \frac{1}{\langle \sigma_m \rangle} \int \frac{d\sigma_m^{th}(y)}{dy} \epsilon(y) G(x_{obs}, y) dy$$

ME de m + PDFs

Fonction de transfert

Calcul du rapport de Likelihood:

$$LR(x_{obs}) \equiv \frac{P_H(x_{obs})}{P_H(x_{obs}) + \sum_i k_i P_i(x_{obs})}$$



Résultats $H \rightarrow WW^*$

Limites à 95 % CL ($m_H = 160 \text{ GeV}/c^2$)

1 fb⁻¹



$\sigma (\times \text{SM}) \text{ exp}$

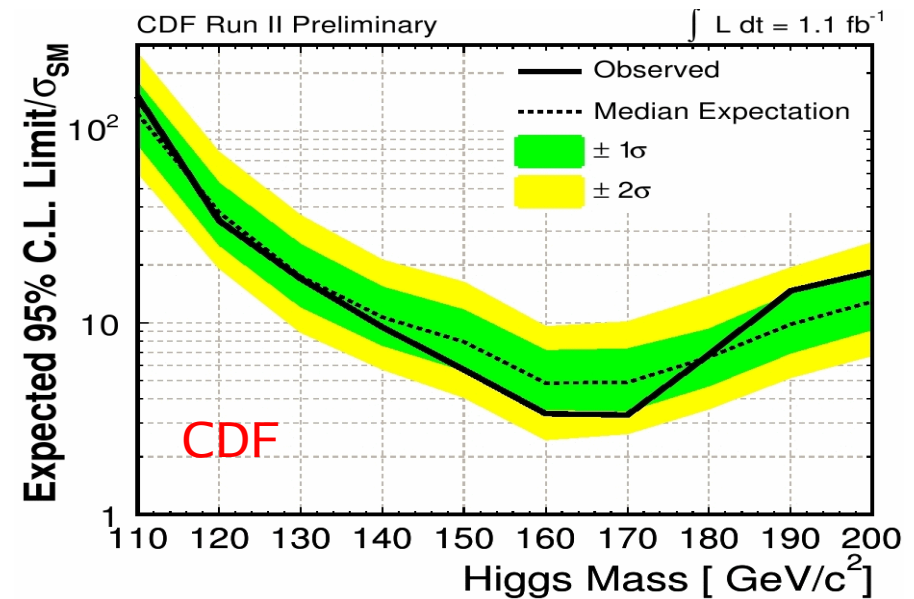
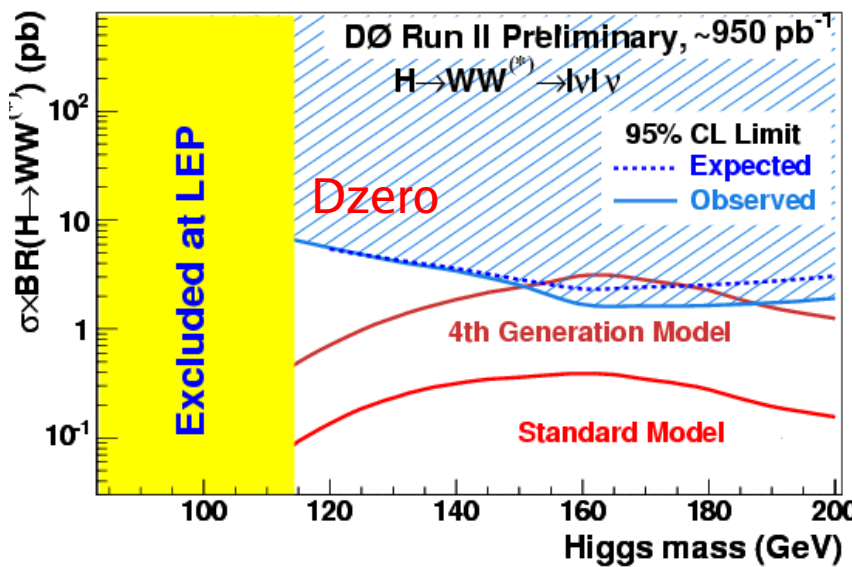
2.4 pb (6.0 \times SM)

1.8 pb (5.0 \times SM)

$\sigma (\times \text{SM}) \text{ obs}$

1.7 pb (4.5 \times SM)

1.3 pb (3.5 \times SM)





Apercu des systématiques



Exemple: CDF

Systématiques utilisées dans la combinaison des résultats

TABLE V: The breakdown of systematic uncertainties for each individual CDF analysis. All positive-signed uncertainties within a group are considered 100% correlated across channels. Values with negative signs are considered uncorrelated.

Source	$WH \rightarrow \ell\nu b\bar{b}$ ST	$WH \rightarrow \ell\nu b\bar{b}$ DT	$ZH \rightarrow \nu\bar{\nu} b\bar{b}$ ST	$ZH \rightarrow \nu\bar{\nu} b\bar{b}$ DT	$ZH \rightarrow \ell^+\ell^- b\bar{b}$	$H \rightarrow W^+W^-$
Luminosity (%)	6.0	6.0	6.0	6.0	6.0	6.0
<u>b-Tag Scale Factor (%)</u>	5.3	16.0	8.0	16.0	8.0	n/a
Lepton Identification (%)	2.0	2.0	2.0	2.0	1.4	3.0
<u>Jet Energy Scale (%)</u>	3.0	3.0	6.0 (1.0-20.0)	(1.6-20.0)	1.0	
I(S)R+PDF (%)	4.0	10.0	4.0	5.0	2.0	5.0
Trigger (%)	0.0	0.0	3.0	3.0	0.0	0.0
$Z + h.f.$ Shape (%)	n/a	n/a	n/a	n/a	-20	n/a
Backgrounds						
<u>W/Z+HF(I) (%)</u>	33.0	34.0	12.0	12.0	40.0	n/a
W+HF(II) (%)	0	0	-10.0	-42.0	0	n/a
Z+HF(II) (%)	0	0	-6.0	-19.0	0	n/a
Mistag (%)	22.0	15.0	7.0	17.0	17.0	n/a
Top I (%)	13.5	20.0	12.0	12.0	20.0	n/a
Top II (%)	n/a	n/a	-2.0	-3.0	n/a	n/a
<u>QCD (%)</u>	17.0	20.0	-10.0	-44.0	-50.0	n/a
Diboson I (%)	16.0	25.0	12.0	12.0	20.0	11.0
Diboson I (%)	n/a	n/a	-5.0	-10.0	n/a	n/a
Others (%)	n/a	n/a	n/a	n/a	n/a	-(12.0-18.0)



Une idée du challenge

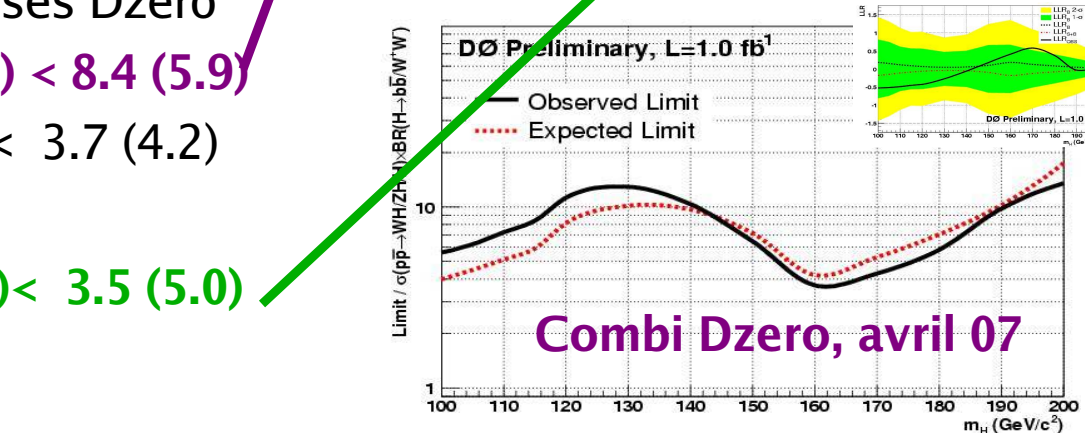
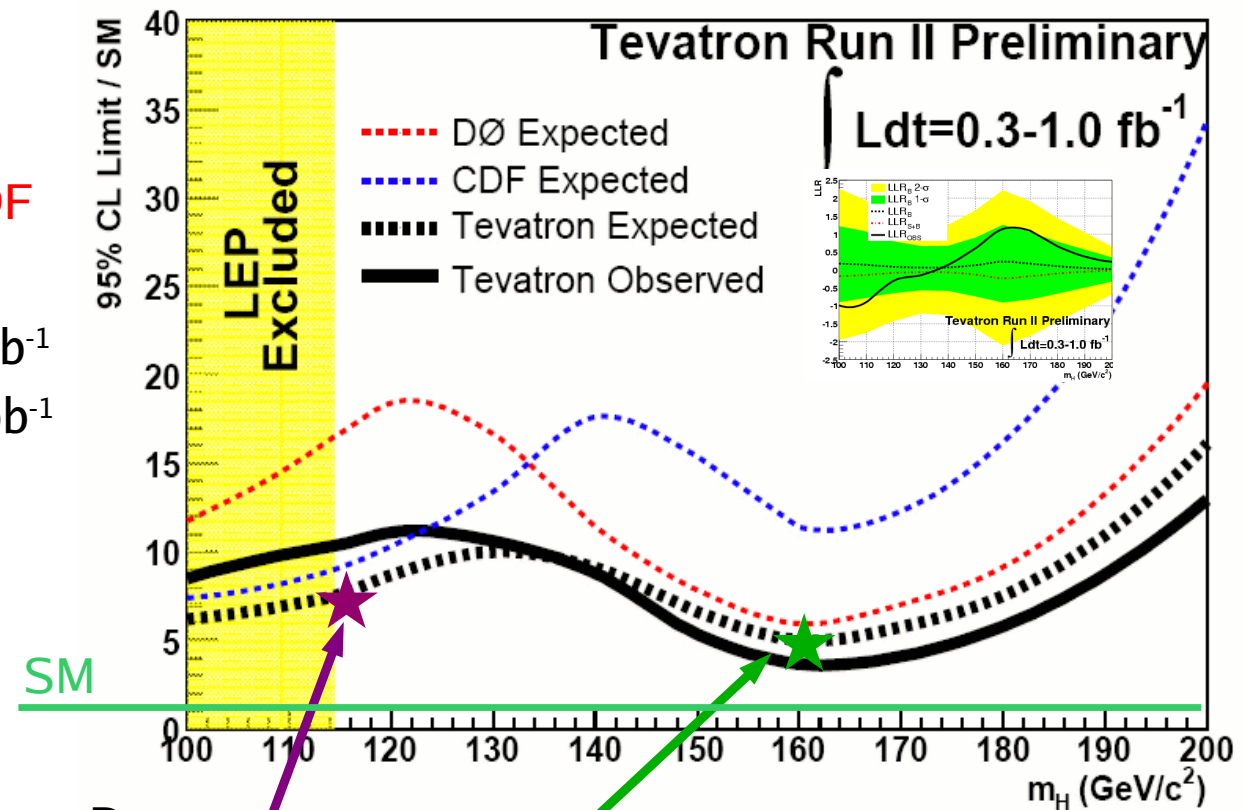


Nombres d'événements de signal et de bruit de fond attendus avec les coupures utilisées à Dzero pour les modes sensibles à un bosons de Higgs de $115 \text{ GeV}/c^2$

<u>Channel</u>	<u>Signal</u>	<u>Bkgd</u>	<u>Data</u>	<u>S/sqrt(B)</u>
$WH \rightarrow l\nu bb, 2\text{Tag}$	1,45	86,6	91	0,156
$WH \rightarrow l\nu bb, 1\text{Tag}$	1,48	365,2	339	0,077
$ZH/WH \rightarrow \text{MET}+bb$	0.83/0.54	55,3	63	0,184
$ZH \rightarrow ll bb$	0,37	19,8	17	0,083

Première combinaison Dzero/CDF des xSM pour ICHEP 06. Mais:

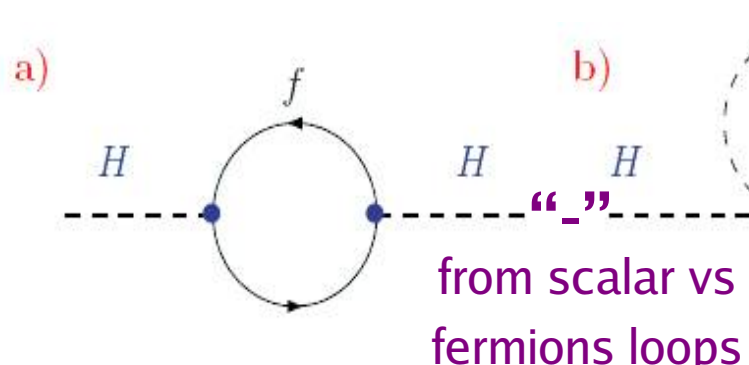
- Dzero: basses masses slt 300pb^{-1}
- CDF : hautes masses slt 300 pb^{-1}





Le boson de Higgs du Modèle Standard Supersymétrique Minimal (MSSM)

- SUSY relates bosons to fermions. But it requires a complete set of new particles (“*s*-particles): can not “only” relate known bosons to known fermions
- One of the main appeals: it solves naturally the hierarchy problem provided that m_{Fermion} close to m_{Scalar}



$$\Delta M_H^2 = \frac{\lambda_f^2 N_f}{4\pi^2} \left[(m_f^2 - m_S^2) \log\left(\frac{\Lambda}{m_S}\right) \right]$$

Quadratic divergences cancel out,
only logarithmic ones remain !

⇒ New particles masses should not be much higher than TeV

⇒ Can be produced ‘*n*-shell’ at the Tevatron/LHC! (direct searches)



The MSSM Higgs sector



- **SUSY requires at least 2 Higgs doublets** (to cancel higgsino contribution to triangle anomalies, structure of superpotential)

MSSM: exactly 2 doublets

⇒ 1 couples to down (up) quarks with vev v_d (v_u): $\tan\beta = v_d/v_u$.

NB: if $\tan\beta \approx 40 \Rightarrow \lambda_{top} \approx \lambda_{bottom}$... large $\tan\beta$ regime appealing

⇒ After EW breaking: **5 Higgs bosons** remain:

- 3 neutral : h/H (CP-even) and A (CP-odd) (convention: $m_H > m_h$)
- 2 charged : H^+, H^-

- In susy models, Higgs sector has only 2 parameters, usually M_A and $\tan\beta$, at tree level

⇒ M_h , M_H and M_{H^\pm} are function of M_A and $\tan\beta$ at tree level, more model dependent after radiative corrections

⇒ ∀ MSSM parameters, $M_h < 135$ (150) GeV/c^2 . A light Higgs boson must exist if MSSM is realized!

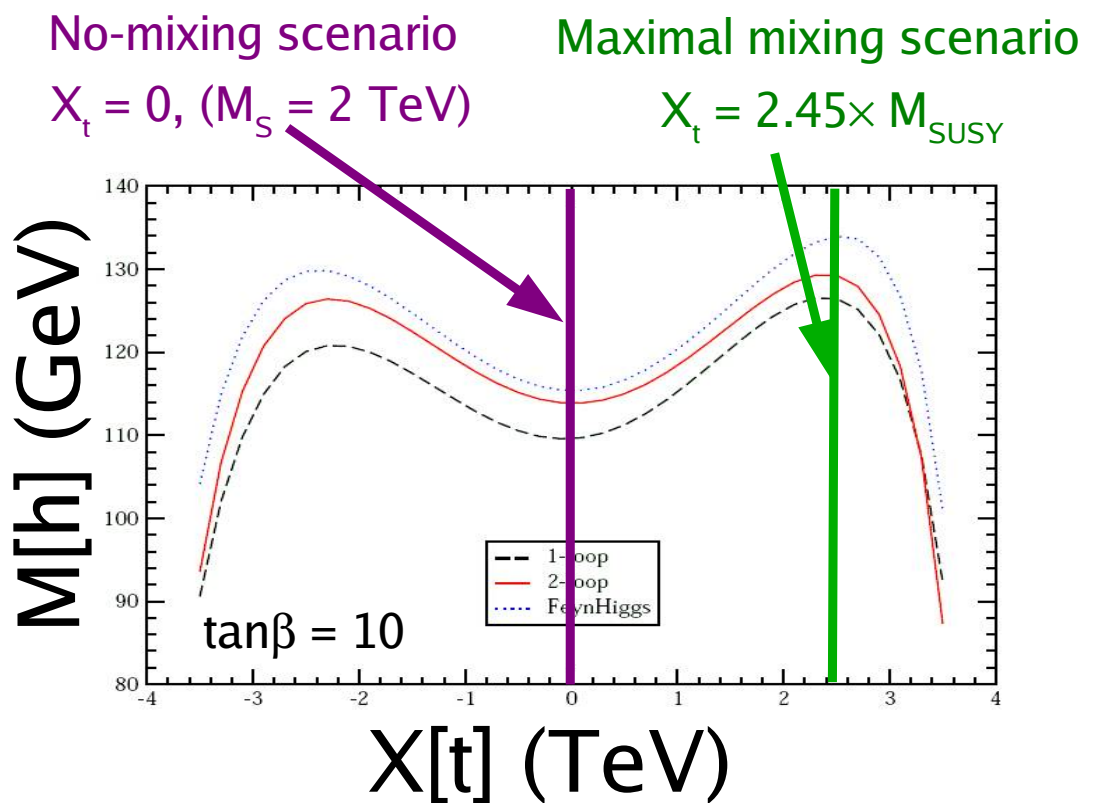
- Results at Tevatron are usually interpreted in 2 benchmark scenarii called m_h^{\max} and no-mixing.

Common set of parameters

$$\begin{aligned}
 m_t &= 174.3 \text{ GeV}, \\
 M_{\text{SUSY}} &= 1000 \text{ GeV}, \\
 \mu &= -200 \text{ GeV}, \\
 M_2 &= 200 \text{ GeV}, \\
 A_b &= A_t, \\
 m_{\tilde{g}} &= 0.8 M_{\text{SUSY}} .
 \end{aligned}$$

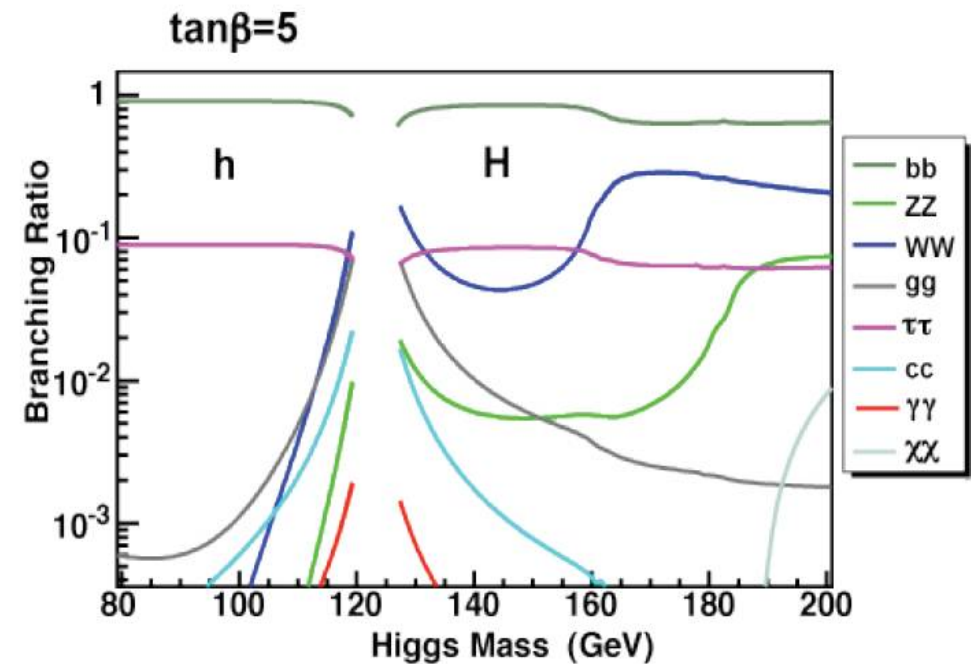
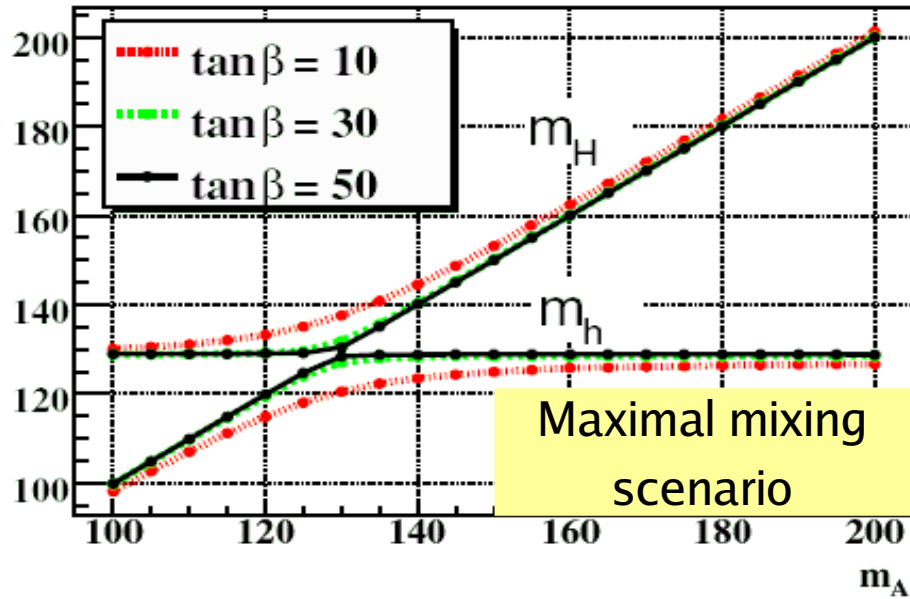
Sign of μ is usually varied

Differences in the stop mixing parameter X_t

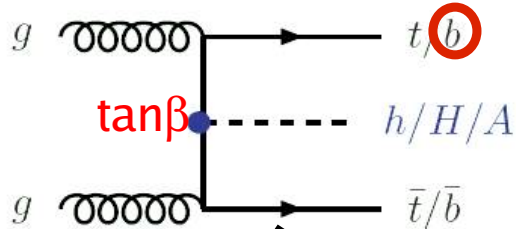
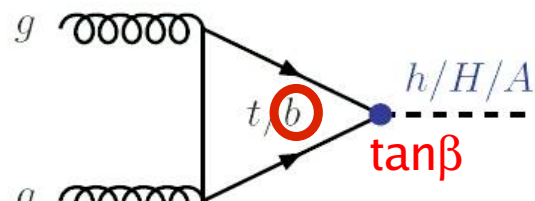


The large $\tan\beta$ regime

- A (+ h or H) coupling to down quark enhanced by $\tan\beta$
 - A (+ h or H) coupling to up quark suppressed by $\cot\beta$
- $\Rightarrow \mathcal{B}(\Phi \rightarrow bb) \approx 90\% ; \mathcal{B}(\Phi \rightarrow \tau\tau) \approx 10\% \text{ where } \Phi \equiv h/H/A$
- $\Rightarrow \text{If } m_{H^+} < m_{top}, \mathcal{B}(H^+ \rightarrow \tau\nu) \approx 1 \text{ otherwise}$
- h/A or H/A or h/H/A are degenerated in mass



Production h/H/A

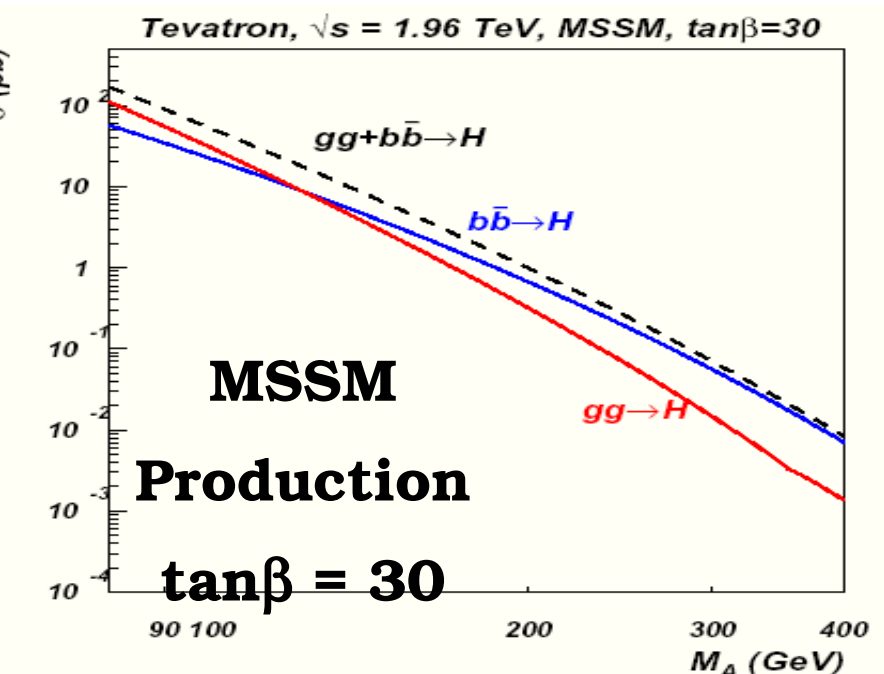
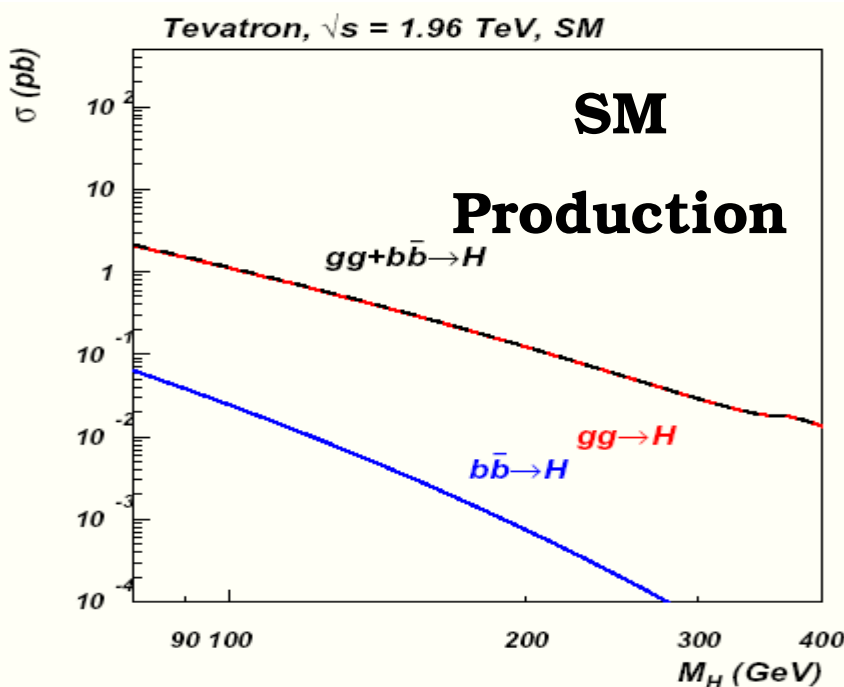


At LO

Susy : $h/H/A \rightarrow \tau \tau$
bb out of reach
(QCD background)

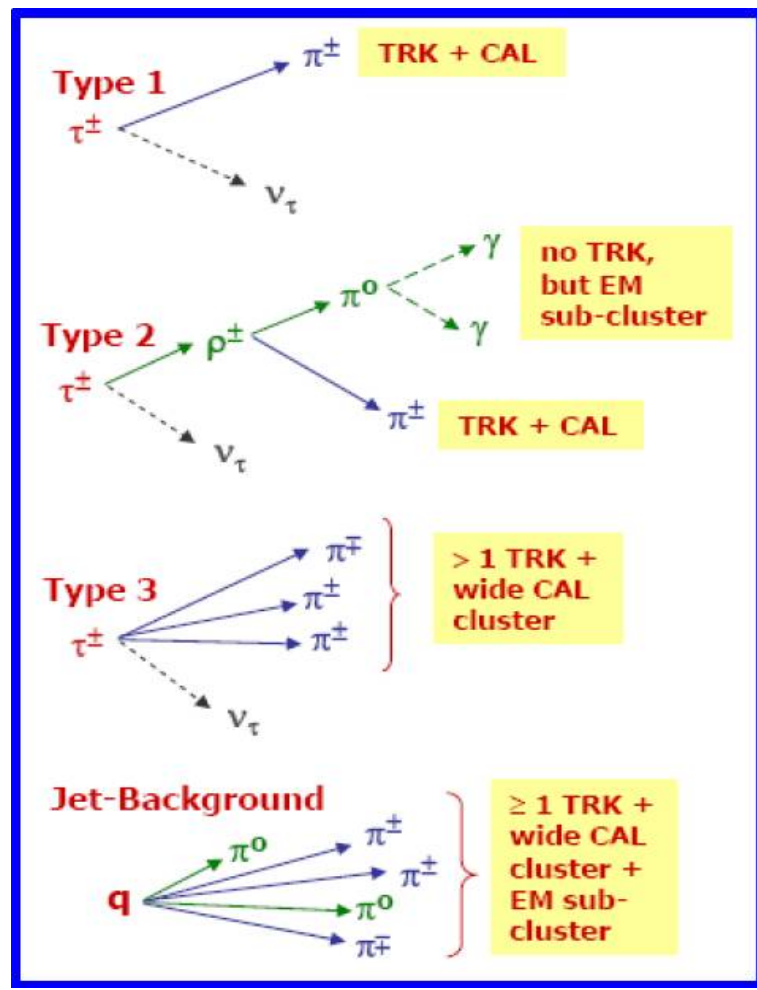
Both $h/H/A \rightarrow bb$ and
 $h/H/A \rightarrow \tau \tau$ possible
---> 1 jet de b

enhancement in $\tan^2 \beta \times 2$



Neural network ID

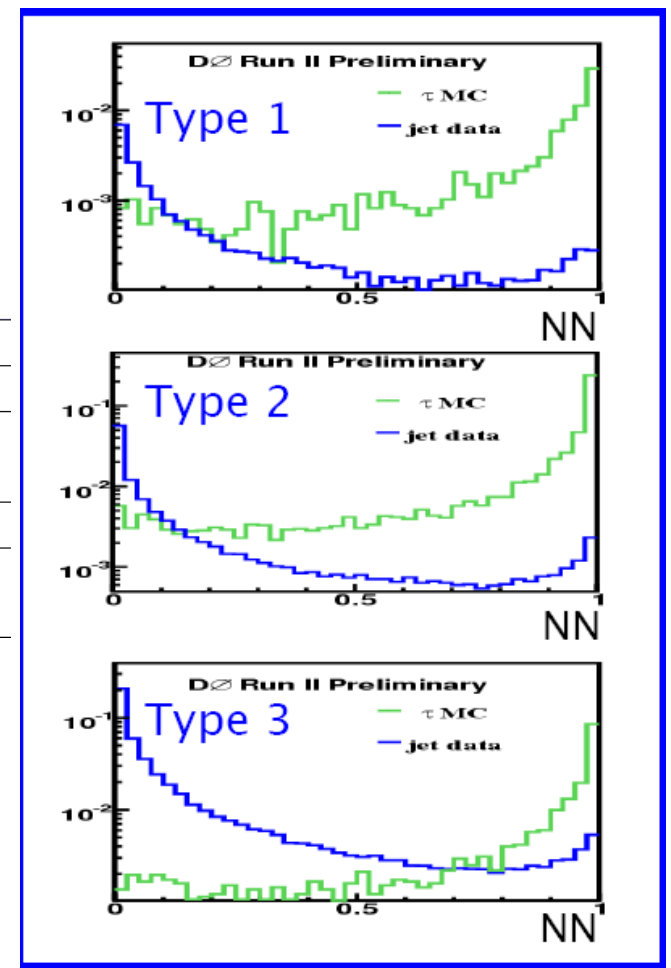
3 types distincts de Taus



Performance pour $p_T[\tau] > 15$ GeV :

Facteur de réduction du bruit de fond ~40
pour 70% d'efficacité au τ

Tau Type	1	2	3
Reconstruction			
Jets	1.5	10	38
Taus	9.1	50	20
$NN > 0.9$			
Jets	0.04	0.2	0.8
Taus	5.8	37	13



New result, both CDF and DØ, with 1 fb $^{-1}$

Final State $\tau\tau(j)$ with

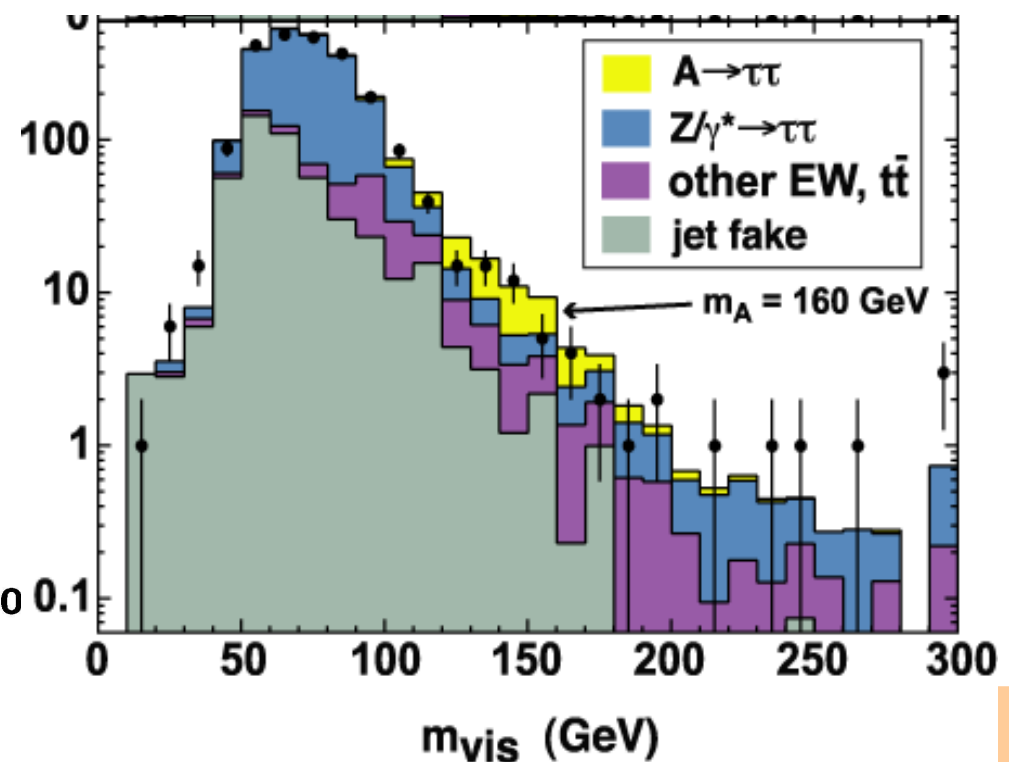
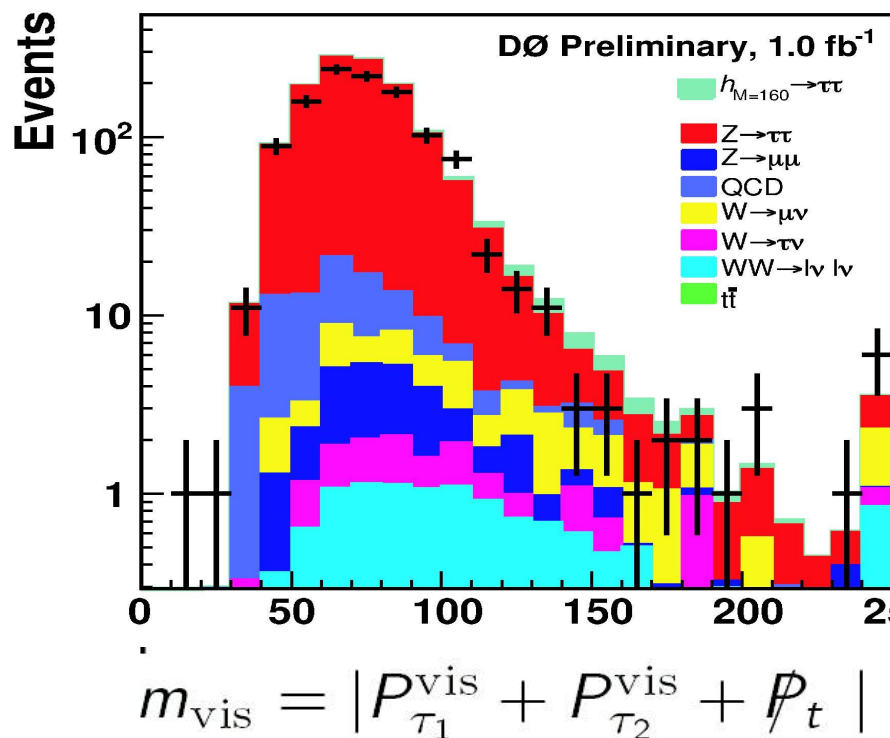
- CDF: $\tau_e \tau_\mu + \tau_e \tau_{had} + \tau_\mu \tau_{had}$
- DØ : only $\tau_\mu \tau_{had}$ but use a NN to discriminate signal from background

Selection

1 (2 for eμ) isolated hard lepton + one hadronic tau (apply NN tau id) with opposite sign. W(j) removed with \vec{E}_T

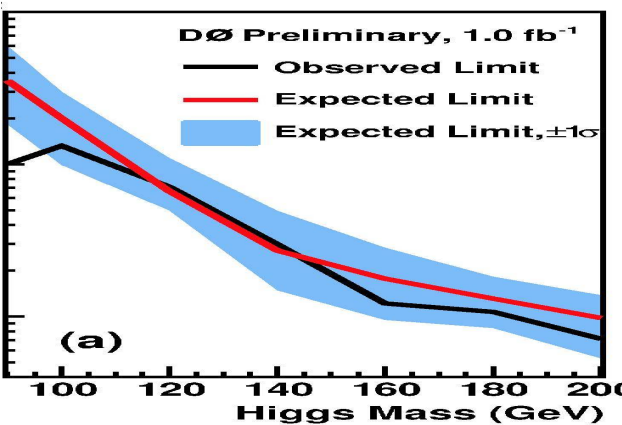
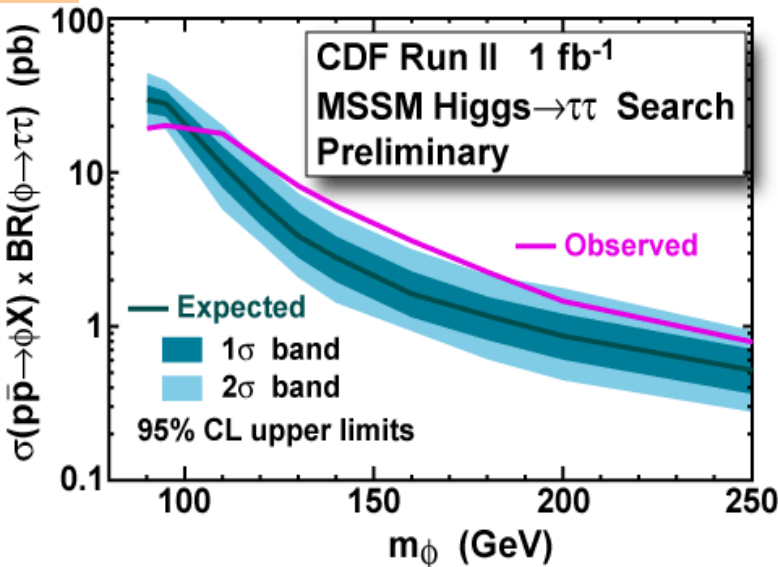
Backgrounds

main $Z\rightarrow\tau\tau$, QCD, $Z\rightarrow ee$, $Z\rightarrow\mu\mu$, di boson



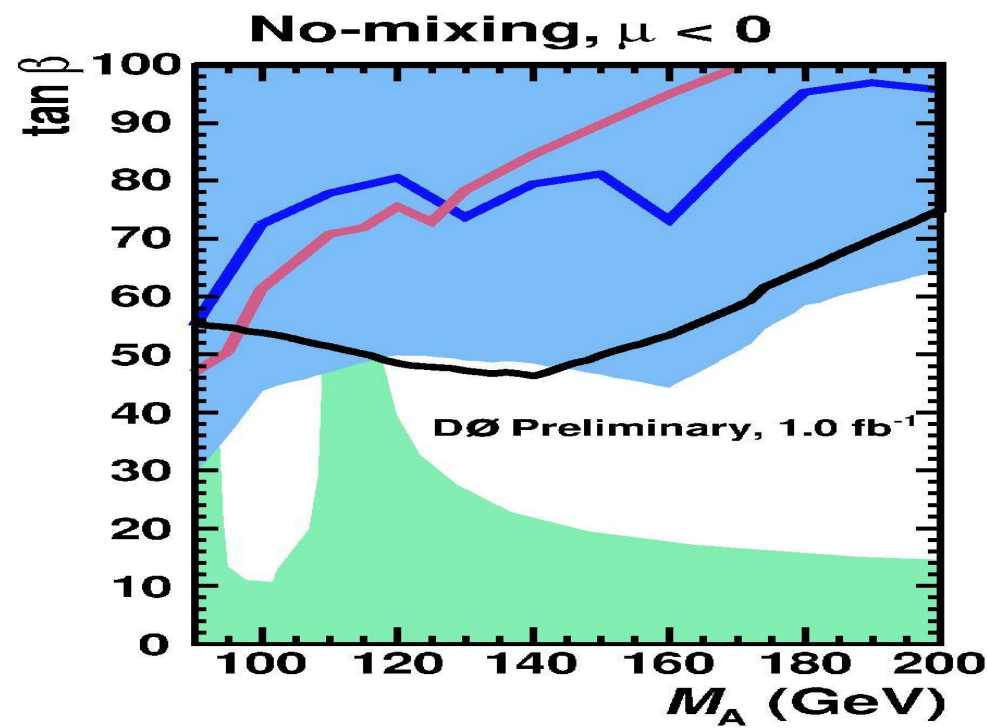
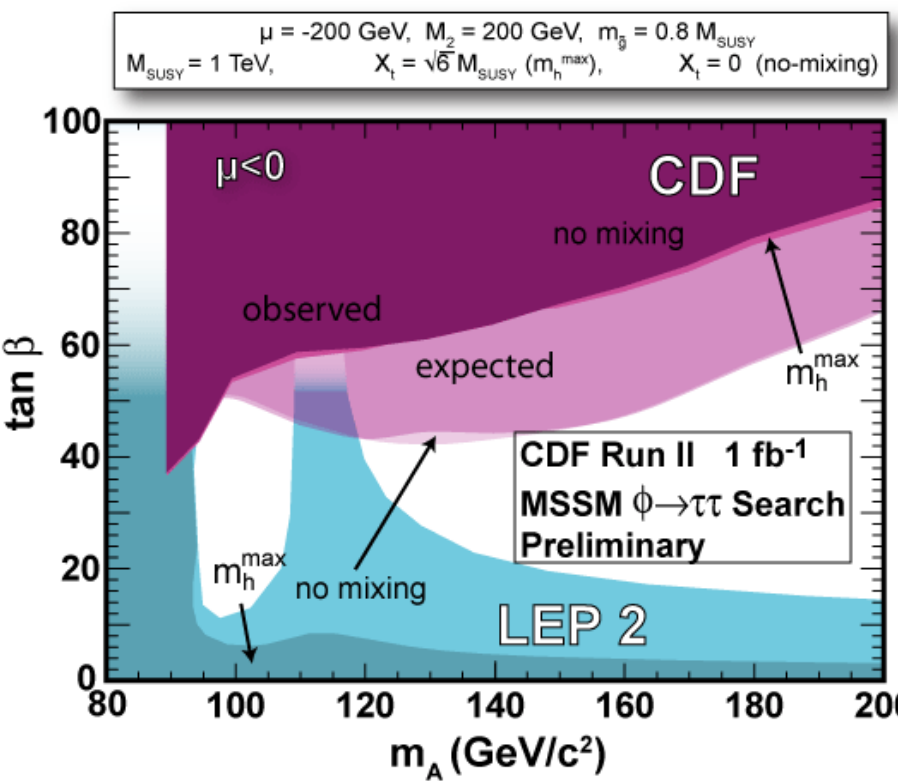


Searches for $h/H/A \rightarrow \tau\tau$



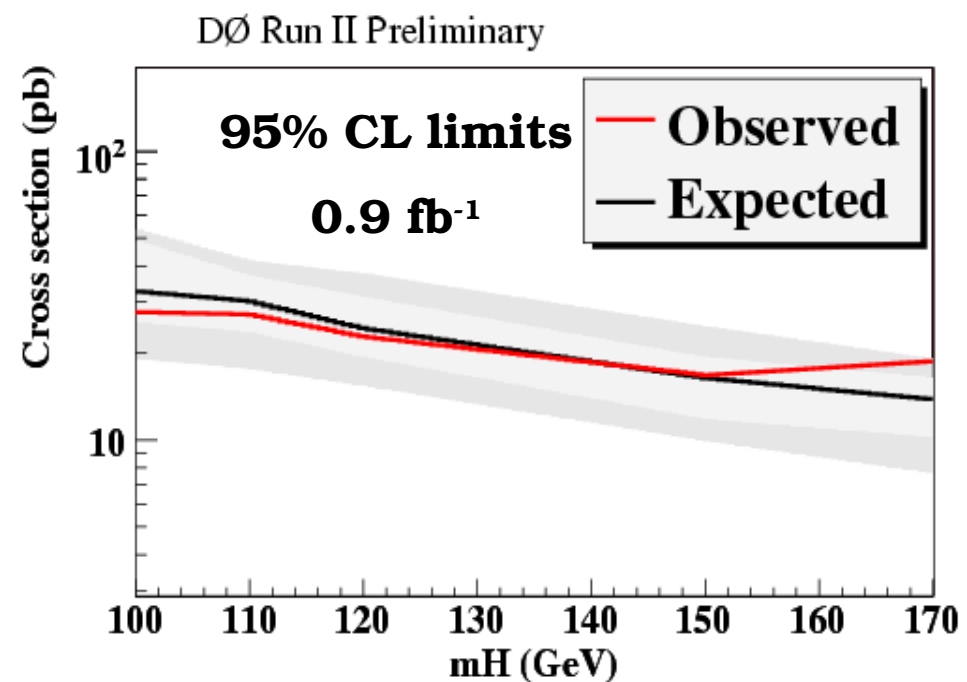
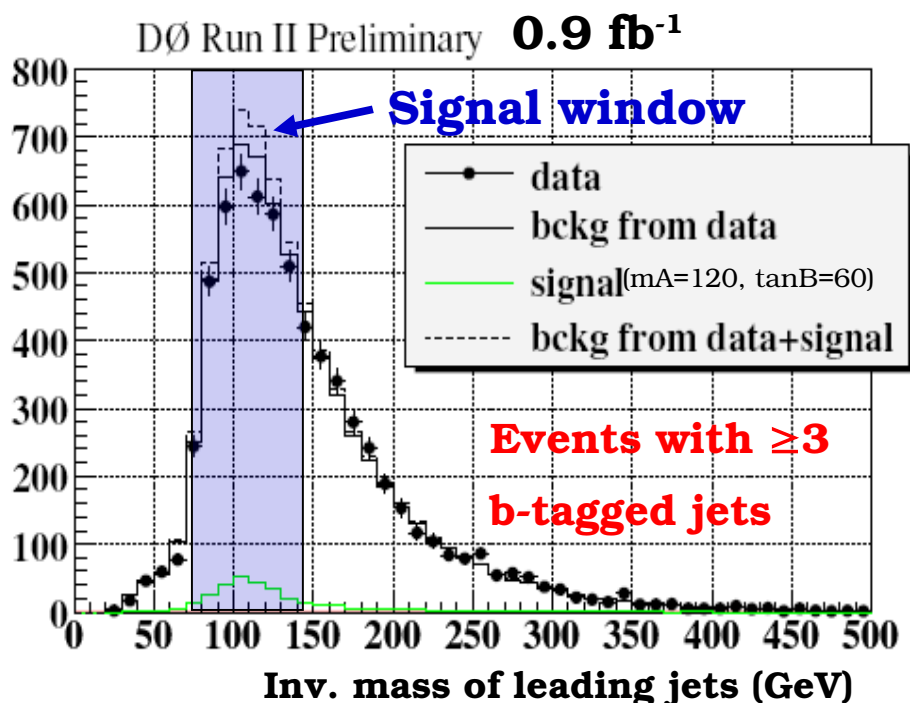
- CDF: 2 σ excess at high masses
- DØ : no excess

CDF&DØ have comparable sensitivities



Production associée hb: état final bbb

- bruit de fond QCD multijets : jjj, cjj, bjj, ccj, bbj, bbc, bbb...
→ pas de prédition théorique fiable
- en cours de réoptimisation à Dzero, résultat attendu pour CDF. Été 2007 ?



DØ only, 344 pb⁻¹

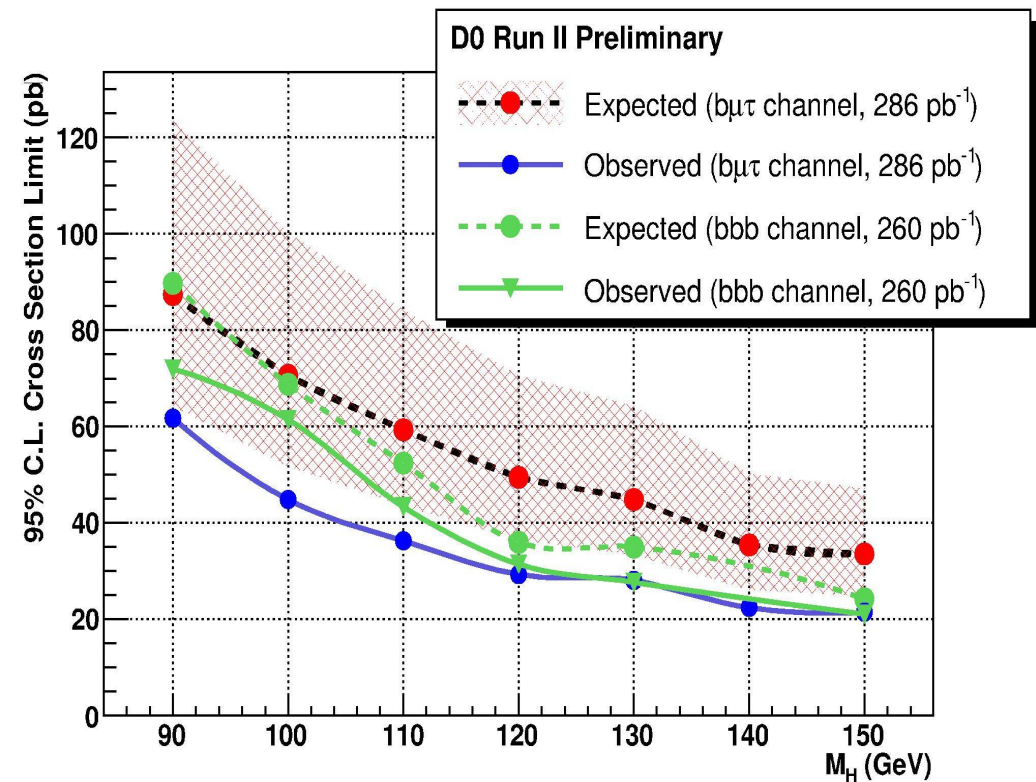
Final State $\tau\tau b(j)$ with $\tau_\mu \tau_{had}$ b

Selection

1 isolated hard muon + one hadronic tau (apply NN tau id) with opposite sign + 1 tagged b jet.
ttbar events are discriminate with the help of an NN

Backgrounds
 $Z(j)$, QCD, ttbar

Exp: 6.8 bkg evts ; Obs: 3



Less sensitive than previous slide but **some lessons** can be drawn:

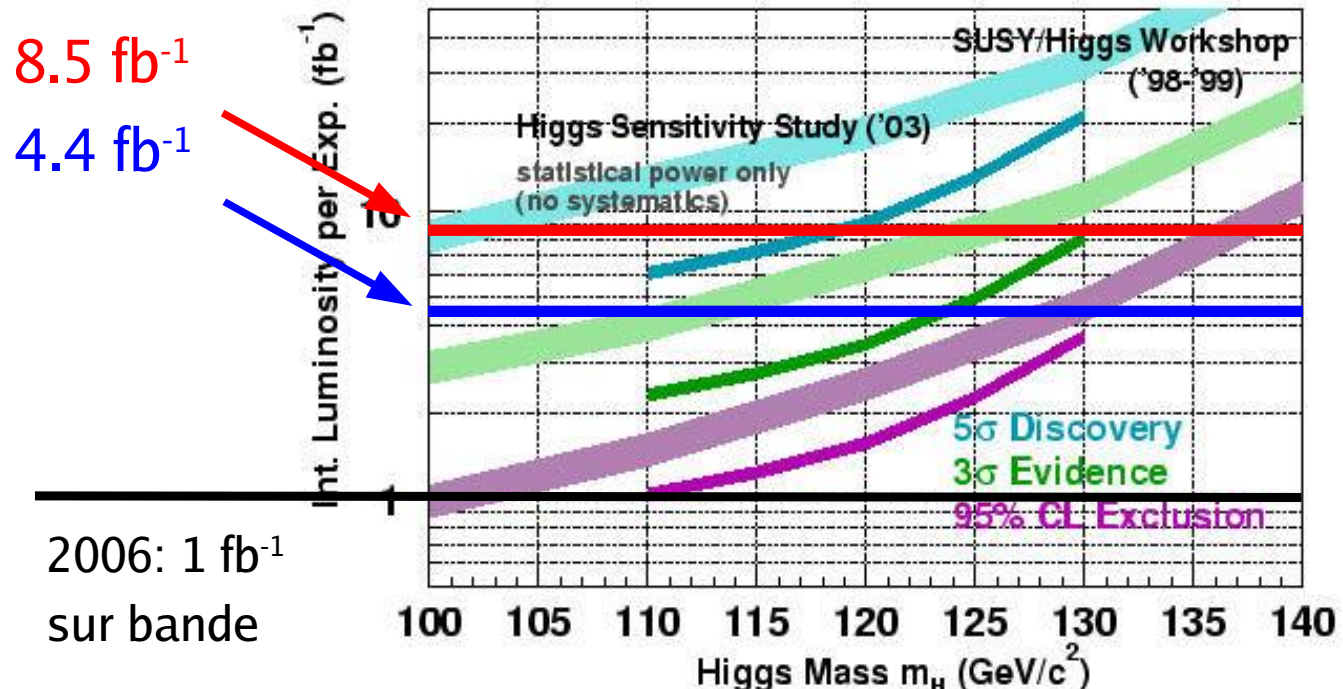
- nearly **as sensitive as** $hb \rightarrow bbb$ with 300 pb⁻¹ though the BR is 9 times smaller
- $hb \rightarrow bbb$ suffer from a large QCD multijet production difficult to predict. With higher statistics, $\tau\tau b$ will probably be more sensitive than hb !



Perspectives

Prédictions datant de 2003 pour les possibilités de:

- **découverte**
- **évidence**
- **exclusion**



Où en est le Tevatron avec 1 fb^{-1} ?

- à $110 \text{ GeV}/c^2$ CDF + Dzero devraient exclure $1 \times \text{SM}$
 - à $110 \text{ GeV}/c^2$ CDF + Dzero exclude $3.5 \times \text{SM}$ Moyenne personnelle grossière
- Requière au moins 12 fb^{-1}

Le Tevatron pourra-t-il tenir ses promesses ?



Difficile mais pas impossible



Prévisions à Dzero:

- plus de canaux: les leptons τ ne sont pas utilisées
- les analyses multivariables commencent seulement
- amélioration des systématiques indispensables ($Z/W + \text{jets}$)

<u>Ingredient</u>	<u>Equiv Lumi Gain</u>	<u>Xsec Factor MH=115 GeV</u>	<u>Xsec Factor MH=160 GeV</u>
Today with 1fb^{-1}	-	5,9	4,2
Lumi = 2 fb^{-1}	2	4,2	3,0
b-Tag (Shape + Layer \emptyset)	2	3,0	3,0
Multivariate Techniques	1,7	2,3	2,3
Improved mass resolution	1,5	1,8	2,3
New Channels	1.3/1.5	1,6	1,9
Reduced systematics	1,2	1,5	1,7
Two Experiments	2	1,1	1,2

→ At 115 GeV At 160 GeV

need ~2.5 fb⁻¹ need ~3 fb⁻¹

Conclusion

Le TeVatron et son premier 1fb^{-1} :

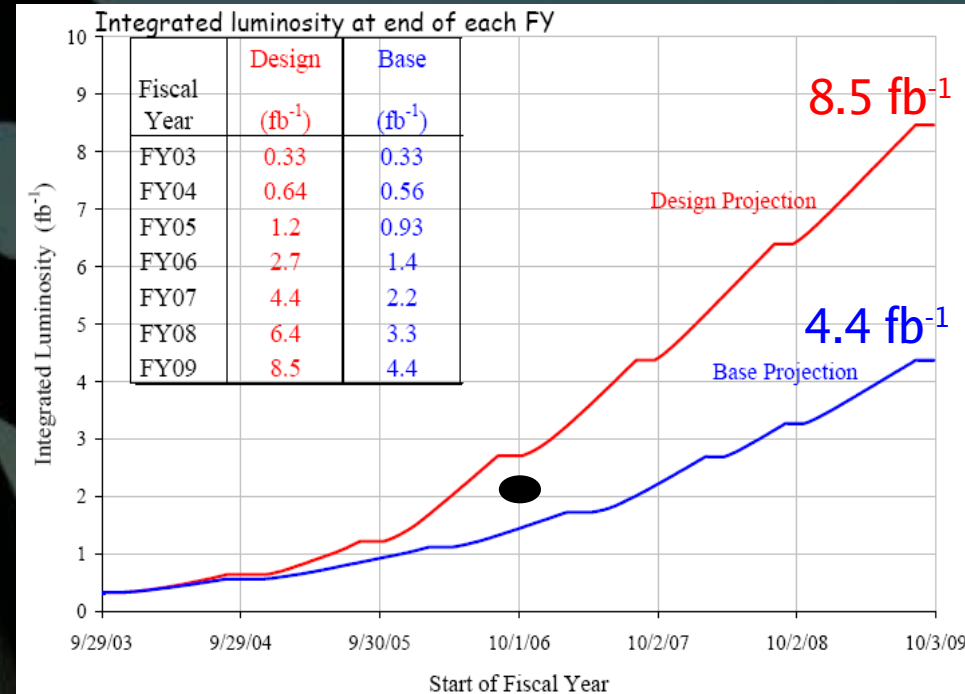
- 2006 : B_s mixing à CDF (et Dzero)
- 2007 : single top à Dzero

et avec un $6/8\text{ fb}^{-1}$?

La quête du boson de Higgs
commence seulement au TeVatron:

- tous les canaux sont analysés
- les **outils de combinaisons** sont en place
- des **améliorations** manquent encore mais sont prévues: addition des τ , b-Tagging (Layer \emptyset à $D\emptyset$), améliorations des analyses (ME, NN), augmentation de l'acceptance des leptons à CDF....

“Difficile de trouver un chat noir dans une pièce sombre, surtout s'il n'y est pas !”



Higgs MSSM:

Dores et déjà atteint le **domaine intéressant** $\tan\beta \sim 40$
Une surprise est toujours possible !

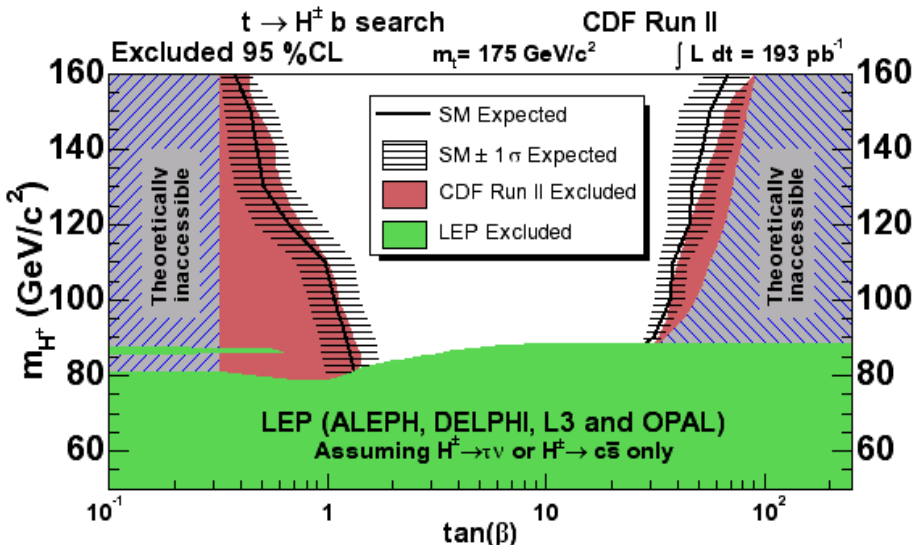


Backup slides



If $m_{H^+} < m_{top}$ then the decay $t \rightarrow b H^+$ compete with the SM $t \rightarrow b W^+$

Use the top samples. Look for excess of events over SM predictions

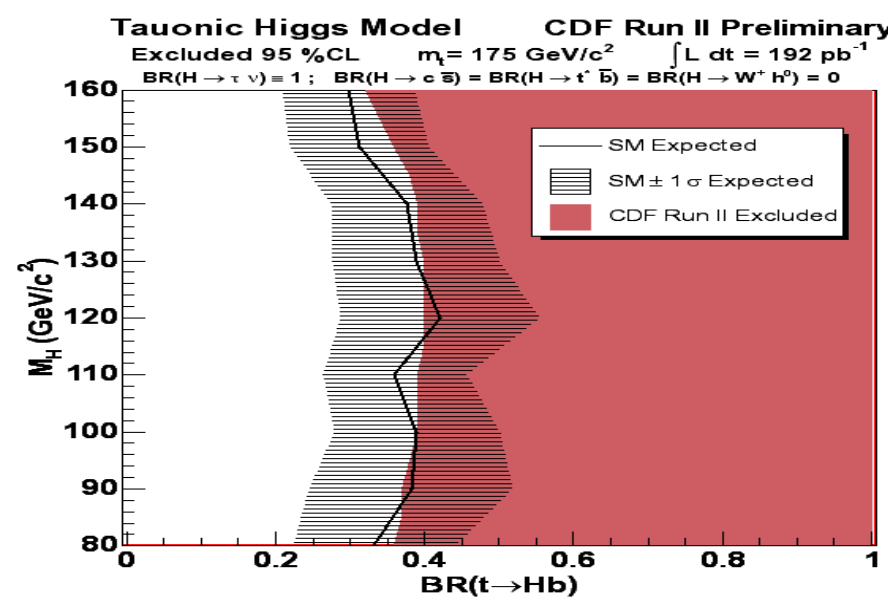


Limits in several scenarii, cover different H^+ decays. Left plot:

Maximal mixing scenario

200 pb⁻¹

Phys. Rev. Lett. 96, 042003 (2006)



large $\tan\beta$ case :
 $Br(H^+ \rightarrow \tau\nu) = 100\%$ and one can put a limit on the $Br(t \rightarrow b H^+)$